

PERANCANGAN KONTROL GERAKAN TABUNG TOMOGRAF
MENGUNAKAN MIKROKONTROLER AT89C51
DENGAN METODE LOGIKA *FUZZY*

TUGAS AKHIR

OLEH :

Moh. Samsun Afifuddin

NRP : 2294.100.084

PERPUSTAKAAN ITS	
Tgl. Terima	2 - 8 - 2000
Terima Dari	H
No. Agenda Pnp.	21.1459



RSE
629.89
Af
p-1
—
2000

JURUSAN TEKNIK ELEKTRO
FAKULTAS TEKNOLOGI INDUSTRI
INSTITUT TEKNOLOGI SEPULUH NOPEMBER
SURABAYA
2000



PERANCANGAN KONTROL GERAKAN TABUNG TOMOGRAF
MENGUNAKAN MIKROKONTROLER AT89C51
DENGAN METODE LOGIKA FUZZY

TUGAS AKHIR

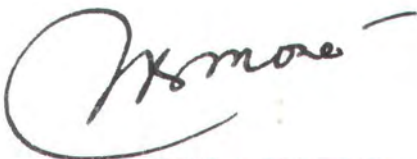
Diajukan Guna Memenuhi Sebagian Persyaratan
Untuk Memperoleh Gelar Sarjana Teknik Elektro
Pada

Bidang Studi Elektronika
Jurusan Teknik Elektro
Fakultas Teknologi Industri
Institut Teknologi Sepuluh Nopember
S u r a b a y a

Mengetahui / Menyetujui

Dosen Pembimbing I

Dosen Pembimbing II



Ir. MURDI ASMORO ADJI
NIP. 130 532 014



Ir. TASRIPAN, MT.
NIP. 131 918 685

S U R A B A Y A

PEBRUARI, 2000

ABSTRAK

Tomograf adalah peralatan dalam dunia kedokteran untuk mengambil foto *rontgen* untuk mendapatkan gambar diagnostik suatu lapisan khusus dari jaringan/obyek yang tertutup oleh lapisan/obyek lainnya. Ini diselesaikan dengan memanfaatkan peralatan tambahan yang memungkinkan tabung sinar-x dan film bergerak dengan berporos pada titik *fulcrum* selama *ekspose*. Hasil radiografinya disebut tomogram, yang memperlihatkan sebuah gambar jelas obyek yang terletak di dalam bidang khusus dan mengaburkan obyek yang berada di atas dan di bawah bidang khusus tersebut.

Gerakan tabung yang membutuhkan waktu lama bisa menyebabkan perubahan posisi pasien/obyek selama *ekspose*, yang menyebabkan posisi fokus berubah, pada akhirnya hasil gambar yang diperoleh tidak jelas. Juga paparan radiasi sinar-x yang lama dapat menimbulkan bahaya kesehatan. Peralatan tomograf yang ada saat ini membutuhkan waktu relatif lama dalam pengambilan gambar, rata-rata 3 detik untuk pergerakan tabung 60° .

Dalam tugas akhir ini telah dibuat kontrol *fuzzy* untuk mengatur gerakan tabung sinar-x pada peralatan tomograf sehingga didapatkan waktu *ekspose* yang lebih cepat. Sistem yang dibuat terdiri atas mikrokontroler AT89C51 yang diprogram untuk berfungsi sebagai kontrol *fuzzy* sekaligus kontrol sistem secara keseluruhan, dan pembangkit sinyal PWM untuk kontrol kecepatan motor arus searah, ADC, *driver* arah dan kecepatan motor, dan sensor posisi sebagai umpan balik.

Dari perancangan ini dihasilkan sebuah kontroler *fuzzy* dengan maksimum empat masukan dan dua keluaran berbasis mikrokontroler AT89C51 yang murah dan menunjukkan kerja yang cukup baik. Kecepatan *software fuzzy* 2,5 ms per siklus dengan 4 masukan, 2 keluaran, dan 5 *rule fuzzy*. Waktu gerakan yang terukur dalam peralatan yang telah dibuat adalah 1,2 detik pada gerakan 30° dan 1,68 detik pada gerakan 60° , dan kesalahan pengaturan posisi yang terjadi rata-rata 2 %.

Kontrol *fuzzy* memudahkan perancangan sistem kontrol karena meniru cara berpikir manusia, daripada menggunakan model matematis. Penggunaan mikrokontroler sebagai kontrol *fuzzy* perlu ditingkatkan, karena dapat mereduksi biaya dibandingkan bila menggunakan kontrol *fuzzy* jadi. Disarankan penggunaan sensor posisi yang lebih teliti untuk mengurangi kesalahan posisi yang terjadi.

KATA PENGANTAR

Puji syukur senantiasa penyusun panjatkan kepada Allah SWT, karena atas limpahan rahmat dan hidayah-Nya sehingga dapat menyelesaikan tugas akhir yang berjudul **"PERANCANGAN KONTROL GERAKAN TABUNG TOMOGRAF MENGGUNAKAN MIKROKONTROLER AT89C51 DENGAN METODE LOGIKA FUZZY"** sebagai prasyarat untuk meraih gelar sarjana pada Jurusan Teknik Elektro Institut Teknologi Sepuluh Nopember Surabaya.

Dalam menyusun Tugas Akhir ini penulis senantiasa mendapat bantuan dan dukungan yang sangat berharga. Untuk itu penulis mengucapkan banyak terima kasih, terutama kepada :

- Ibu, Bapak, serta adik-adikku yang telah memberikan dukungan semangat serta doa sehingga tugas akhir ini dapat terselesaikan.
- Bapak Ir. Murdi Asmoro Adji selaku Dosen Pembimbing I yang telah bersedia mengorbankan waktunya dan dengan sabar memberikan bimbingan.
- Bapak Ir. Tasripin, MT. selaku Pembimbing II yang senantiasa memberikan bimbingan dan dorongan semangat kepada penulis.
- Bapak Ir. Nawantowibowo selaku dosen wali.
- Bapak Ir. Soetikno, selaku Koordinator Bidang Studi Elektronika Jurusan Teknik Elektro ITS.
- Bapak Dr.Ir. Achmad Yazidie, M.Eng. selaku Ketua Jurusan Teknik Elektro FTI-ITS.
- Rekan-rekan mahasiswa, khususnya di Bidang Studi Elektronika.
- Bapak-bapak di bagian Elektromedik Instalasi Perawatan Sarana dan bagian Radiologi RSUD Dr. Soetomo Surabaya yang telah banyak membantu dalam penyelesaian tugas akhir ini.
- Bapak Dr.Ir. Daniel M. Rosyid dan Ibu Ratna serta rekan-rekan di Apotik Sepuluh Nopember dan Poliklinik ITS yang telah banyak memberikan bantuan dan dukungan.
- Rekan-rekan di Masjid Manarul Ilmi ITS, serta semua pihak yang tak bisa penulis sebutkan satu persatu, yang telah memberikan bantuan dan dukungan sehingga tugas akhir ini dapat terselesaikan.



Masih banyak kekurangan di dalam tugas akhir ini yang membutuhkan pengembangan dan perbaikan, untuk itu penyusun menerima dengan terbuka segala kritik dan masukan demi kesempurnaannya.

Akhirnya penulis berharap semoga Tugas Akhir ini memberikan manfaat bagi semua, khususnya untuk perkembangan dunia ilmu.

Surabaya, Februari 2000

Penyusun

DAFTAR ISI

JUDUL	i
LEMBAR PENGESAHAN	ii
ABSTRAK	iii
KATA PENGANTAR	iv
DAFTAR ISI	vi
DAFTAR GAMBAR	x
DAFTAR TABEL	xii
BAB I PENDAHULUAN	1
1.1 Latar Belakang	1
1.2 Permasalahan	2
1.3 Tujuan	2
1.4 Pembatasan Masalah	2
1.5 Metodologi	3
1.6 Sistematika	3
1.7 Relevansi	4
BAB II DASAR TEORI	5
2.1 Logika <i>Fuzzy</i>	5
2.1.1 Himpunan <i>Fuzzy</i>	5
2.1.2 Fungsi Keanggotaan Himpunan <i>Fuzzy</i>	6

2.1.3	Operasi Dasar Himpunan <i>Fuzzy</i>	7
2.2	Kontrol <i>Fuzzy</i>	9
2.2.1	Fuzzifikasi	9
2.2.2	<i>Rule Base</i>	10
2.2.3	<i>Inference</i>	11
2.2.4	Defuzzifikasi	14
2.3	Pengontrolan dengan Logika <i>Fuzzy</i>	15
2.4	Mikrokontroler AT89C51	17
2.4.1	Konfigurasi AT89C51	17
2.4.2	Deskripsi AT89C51	18
2.4.3	Konfigurasi Pin AT89C51	19
2.4.4	Organisasi Memori	24
2.4.5	<i>Timer/Counter</i>	27
2.4.6	Interupsi	29
2.5	Tomografi Konvensional	31
2.5.1	Fungsi	31
2.5.2	Terminologi	31
2.5.3	<i>Tube Trajectories</i>	32
2.5.4	Pergerakan Tabung <i>Unidirectional</i>	33
2.5.5	Panel Kontrol	33
2.5.6	Pergerakan Tabung <i>Multidirectional</i>	34
2.5.7	<i>Fulcrum</i>	35
2.5.8	<i>Fulcrum</i> Variabel dan <i>Fulcrum</i> Tetap	36
2.5.9	Menentukan Level Fokus dan Pemusatan	37

2.5.10 Pengaburan (<i>Blur</i>)	38
2.5.11 <i>Sectional Thickness</i> (ketebalan bidang obyektif) ..	42
2.6 Motor Arus Searah (DC)	43
2.6.1 Pengatur Kecepatan dan Karakteristik Daya	
Motor DC	45
2.7 Sensor	47
2.8 <i>Analog to Digital Converter</i>	47
 BAB III PERANCANGAN ALAT	49
3.1 Perancangan Sistem	49
3.2 Perancangan Mekanik	50
3.3 Perancangan Perangkat Keras	51
3.3.1 Mikrokontroler AT89C51	51
3.3.2 <i>Driver</i> Kecepatan dan Arah Putaran Motor	53
3.3.3 <i>Analog to Digital Converter</i> MAX154	54
3.3.4 Tombol kontrol	55
3.4 Perancangan Perangkat Lunak	56
3.4.1 Mikrokontroler AT89C51 sebagai Kontroler <i>Fuzzy</i> ..	58
3.4.2 Bentuk Penulisan <i>Membership Function</i> dan <i>Rule</i>	
<i>Base</i>	59
3.4.3 Fuzzifikasi	63
3.4.4 <i>Rule Evaluation</i>	63
3.4.5 Defuzzifikasi	64
3.4.6 Pembangkit PWM	64

BAB IV PENGUJIAN DAN PENGUKURAN	66
4.1 Pengujian Sensor Posisi	66
4.2 Pengujian ADC	67
4.3 Pengujian Perangkat Lunak	67
4.4 Pengujian Perangkat Keras	69
4.5 Pengujian Sistem	70
 BAB V PENUTUP	 72
5.1 Kesimpulan	72
5.2 Saran	72
 DAFTAR PUSTAKA	 74
LAMPIRAN	

DAFTAR GAMBAR

Gambar 2.1	Bentuk-bentuk fungsi keanggotaan yang sering digunakan	6
Gambar 2.2	Struktur dan elemen fungsional dari kontrol <i>fuzzy</i>	9
Gambar 2.3	Prinsip fuzzifikasi	10
Gambar 2.4	Representasi dari dasar pengetahuan dalam bentuk aturan linguistik	10
Gambar 2.5	Representasi matriks dari dua variabel	11
Gambar 2.6	Elemen-Elemen <i>Inference</i>	11
Gambar 2.7	Diagram blok sistem kontrol logika <i>fuzzy</i>	16
Gambar 2.8	Konfigurasi pin Atmel AT89C51	19
Gambar 2.9	Diagram blok Atmel AT89C51	22
Gambar 2.10	Alokasi interupsi pada memori program	25
Gambar 2.11	Memori data internal	25
Gambar 2.12.	Bagian bawah 128 <i>byte</i> RAM internal	27
Gambar 2.13	Pengontrol kerja dan pemilih mode operasi <i>timer/counter</i> ...	28
Gambar 2.14	<i>Register Interrupt Enable (IE)</i> dan <i>Interrupt Priority (IP)</i> ...	30
Gambar 2.15	Prinsip " <i>blurring</i> " tomografi	35
Gambar 2.16	<i>Fulcrum</i> variabel	36
Gambar 2.17	<i>Fulcrum</i> tetap	37
Gambar 2.18	Penambahan <i>d</i> , berarti penambahan <i>movement/blurring</i>	39
Gambar 2.19	Pengurangan <i>d</i> , berarti pengurangan <i>movement/blurring</i>	40



Gambar 2.20	Penambahan sudut <i>ekspose</i> , berarti penambahan <i>movement</i> dan menambah pengaburan	41
Gambar 2.21	<i>Sectional thickness</i> (ketebalan bidang obyektif)	41
Gambar 2.22	Prinsip kerja motor dc	44
Gambar 2.23	Persamaan motor dc	44
Gambar 2.24	Karakteristik daya motor dc	46
Gambar 2.25	Diagram fungsi IC MAX 154	48
Gambar 3.1	Diagram blok kontrol gerakan tabung tomograf	49
Gambar 3.2	Sensor sudut posisi	51
Gambar 3.3	Sistem minimum mikrokontroler AT89C51	52
Gambar 3.4	<i>Driver</i> motor konfigurasi jembatan H	54
Gambar 3.5	Rangkaian tombol kontrol	56
Gambar 3.6	<i>Flowchart</i> program mikrokontroler	57
Gambar 3.7	Penggunaan RAM pada AT89C51	58
Gambar 3.8	Bentuk penulisan <i>input membership function</i>	60
Gambar 4.1	Hasil Pengujian Program <i>Fuzzy</i>	68

DAFTAR TABEL

Tabel 2.1	Langkah-langkah <i>inference</i> dan algoritma yang umum digunakan	13
Tabel 2.2	Fungsi alternatif <i>port 3</i>	21
Tabel 2.3	<i>Special Function Register</i>	26
Tabel 4.1	Data pengujian sensor posisi	67
Tabel 4.2	Data pengujian ADC	67
Tabel 4.3	Data pengujian <i>driver</i> motor	69
Tabel 4.4	Pengukuran kesalahan posisi	70
Tabel 4.5	Pengukuran waktu pergerakan tabung sinar-x	70

BAB I

PENDAHULUAN

1.1 Latar Belakang

Dunia kedokteran tidak lepas dari bidang radiologi. Radiologi digunakan dalam diagnosa untuk mengambil gambar bagian dalam tubuh pasien, seperti paru-paru, ginjal, jantung kerusakan tulang ataupun bagian dalam kepala. Pada kasus tertentu, dibutuhkan gambar organ tubuh pada suatu lapisan tertentu dengan mengabaikan lapisan lain di bawah dan di atasnya, untuk keperluan ini digunakan alat tomograf.

Pengaturan gerakan tabung tomograf ini menggunakan motor penggerak. Gerakan tabung ini memiliki kecepatan bervariasi. Pancaran sinar-x terjadi selama gerakan tabung dari posisi awal hingga posisi akhir. Waktu gerakan yang cepat dibutuhkan untuk menghasilkan gambar yang teliti pada obyek bergerak seperti paru-paru dan jantung sekaligus untuk mengurangi paparan radiasi sinar-x.

Gerakan tabung yang membutuhkan waktu lama bisa menyebabkan perubahan posisi pasien atau posisi obyek di tengah *ekspose*, yang menyebabkan posisi fokus pada obyek berubah, pada akhirnya hasil gambar yang diperoleh tidak jelas. Juga paparan radiasi sinar-x yang lama dapat menimbulkan bahaya kesehatan. Peralatan tomograf yang ada saat ini membutuhkan waktu yang relatif lama dalam pengambilan gambar.

1.2 Permasalahan

Bagaimana menciptakan kontrol gerakan tabung tomograf yang cepat dan tepat untuk mempersingkat waktu *ekspose* yang dibutuhkan sehingga diperoleh hasil gambar yang jelas dan benar, serta dapat mengurangi besarnya paparan radiasi sinar-x yang mengenai pasien.

1.3 Tujuan

Tujuan tugas akhir ini adalah :

1. Memperdalam pemahaman dan pengetahuan tentang logika *fuzzy* dan kontrol *fuzzy*.
2. Memperdalam pemahaman dan pengetahuan tentang mikrokontroler dan penerapannya sebagai kontrol *fuzzy*
3. Merancang dan membuat kontrol gerakan tabung tomograf menggunakan kontrol *fuzzy*
4. memasyarakatkan dan memperluas penggunaan kontrol *fuzzy* dalam bidang kedokteran.

1.4 Pembatasan Masalah

Dalam tugas akhir ini akan digunakan resistor variabel sebagai sensor posisi. Keluaran dari resistor variabel diubah dalam bentuk tegangan, kemudian dikonversi ke dalam bentuk data digital menggunakan ADC MAX154. Kontroler yang dipergunakan adalah mikrokontroler AT89C51. Metode *fuzzy* digunakan dalam pengaturan posisi dan pengaturan kecepatan putar motor arus searah.

Masukan kontroler *fuzzy* berupa kesalahan (*Error*) posisi dan perubahan kesalahan (*DError*). Masukan ini akan menentukan keluaran *fuzzy* yang akan mengatur kecepatan pergeseran motor menuju posisi yang diinginkan.

1.5 Metodologi

Pengerjaan tugas akhir ini dilakukan dengan langkah-langkah terlebih dahulu studi literatur tentang logika *fuzzy*, kontrol *fuzzy*, mikrokontroler, dan studi tentang peralatan tomograf serta teori penunjang lainnya. Perancangan dan pembuatan perangkat keras berupa mikrokontroler, *Analog to Digital Converter* (ADC), *driver* motor. Kemudian dilanjutkan dengan perancangan peralatan mekanis.

Bersamaan dengan perancangan alat, dilakukan pula perancangan perangkat lunak. Dan keseluruhan perangkat keras dan perangkat lunak disatukan untuk membentuk sistem pengaturan gerakan tabung sinar-x pada peralatan tomograf. Setelah itu dilakukan pengujian dan kalibrasi alat serta pengambilan data dari alat yang telah dibuat. Kemudian dilanjutkan dengan penyusunan laporan tugas akhir.

1.6 Sistematika

Sistematika penulisan buku tugas akhir ini dibagi dalam beberapa bab berikut ini :

BAB I : Pendahuluan, menguraikan latar belakang, permasalahan, tujuan, pembatasan masalah, metodologi, sistematika, dan relevansi tugas akhir.

BAB II : Teori Penunjang, membahas mengenai teori yang mendasari sistem dan komponen yang digunakan dalam tugas akhir ini.

BAB III : Perancangan alat, membahas perancangan sistem yang akan dibuat yang meliputi perancangan mekanik, perangkat keras, dan perangkat lunak.

BAB IV : Pengujian dan pengukuran, menyajikan hasil-hasil yang diperoleh dalam pengujian dan pengukuran sistem yang telah dibuat.

BAB V : Penutup, berisi kesimpulan tugas akhir dan saran-saran.

1.7 Relevansi

Diharapkan dari tugas akhir ini dapat memberikan sumbangan untuk mengembangkan dan menerapkan lebih jauh kontrol *fuzzy*, khususnya dalam bidang instrumentasi medika dan industri pada umumnya.

BAB II

DASAR TEORI

2.1 Logika *Fuzzy*

Konsep teori *fuzzy* pertama kali diperkenalkan oleh L.A. Zadeh pada tahun 1965 berupa teori Himpunan *Fuzzy* (*fuzzy set*). Konsep himpunan *fuzzy* ini dilatarbelakangi oleh kebutuhan metode yang merepresentasikan dan menganalisa fenomena-fenomena di alam nyata yang serba tidak tepat ditinjau dari cara berfikir manusia terhadap fenomena-fenomena itu.

Cara berfikir manusia pada dasarnya tidak hanya dalam bilangan-bilangan yang pasti, tetapi merupakan penggolongan-penggolongan dengan batasan-batasan yang samar. Logika manusia dalam memandang suatu fenomena tidak hanya terdiri atas dua nilai (1 dan 0), tetapi merupakan logika multi nilai yang berangsur-angsur (*gradual*) antara suatu penggolongan dengan penggolongan lainnya. Berdasarkan penggolongan tersebut ada hubungan dengan aturan yang samar dalam proses berfikir manusia dalam mengambil keputusan untuk menghadapi fenomena-fenomena itu.

2.1.1 Himpunan *Fuzzy*

Suatu himpunan *fuzzy* F dalam semesta X didefinisikan sebagai kumpulan pasangan elemen x dan fungsi keanggotaan $\mu_F(x)$. Fungsi keanggotaan $\mu_F(x)$ mempunyai nilai dalam interval $[0,1]$ pada tiap x dalam X . Nilai fungsi keanggotaan menunjukkan tingkat keanggotaan elemen x dalam F . Bila $\mu_F(x) = 1$, x merupakan anggota penuh F , sedang $\mu_F(x) = 0$ menunjukkan x bukan anggota F .

Secara Umum himpunan *fuzzy* dinotasikan sebagai

$$F = \{(x, \mu_F(x)) \mid x \in X\} \quad (2.1)$$

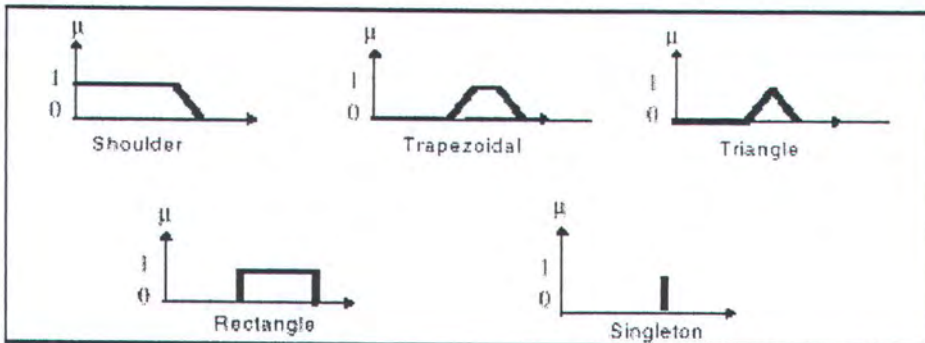
Bila x diskrit dengan n elemen, F dapat dinyatakan sebagai

$$F = \sum_{i=1}^n \mu_F(x_i) | x_i \quad (2.2)$$

Bila x kontinu, F dapat dinyatakan sebagai

$$F = \int_x \mu_F(x) | x \quad (2.3)$$

2.1.2 Fungsi Keanggotaan Himpunan *Fuzzy*



Gambar 2.1 Bentuk-bentuk fungsi keanggotaan yang sering digunakan

Secara umum ada dua metode untuk menyatakan suatu fungsi keanggotaan yaitu pendefinisian secara numerik dan bentuk fungsi. Fungsi keanggotaan yang didefinisikan secara numerik menggunakan pendukung diskrit. Sedangkan bentuk fungsi digunakan pada pendukung kontinu. Gambar 2.1 menunjukkan bentuk-bentuk umum fungsi keanggotaan.

Contoh fungsi keanggotaan yang sering digunakan antara lain,

- Fungsi Eksponensial
- Fungsi Segitiga

$$\mu_F(x) = 1 - \frac{\sqrt{(x-a)^2}}{b} \quad (2.4)$$

- Fungsi Trapezium

$$\mu_F(x) = \begin{cases} 1 & ; 0 \leq (x-a) \leq \frac{b}{2} \\ 2 - 2 \frac{\sqrt{(x-a)^2}}{b} & ; \frac{b}{2} \leq (x-a) \leq b \end{cases} \quad (2.5)$$

2.1.3 Operasi Dasar Himpunan *Fuzzy*

Hubungan-hubungan berikut diterapkan antara dua himpunan *fuzzy*, dimana elemen x berasal dari himpunan dasar G

- *equality* $A = B$,

benar jika $\mu_A(x) = \mu_B(x)$, untuk semua $x \in G$

- *complete inclusion* $A \subseteq B$

benar jika $\mu_A(x) \leq \mu_B(x)$, untuk semua $x \in G$

- *partial inclusion* $A \subset B$

benar jika $\mu_A(x) \leq \mu_B(x)$, untuk semua $x \in G$

dan $\mu_A(x) < \mu_B(x)$, untuk sebuah $x \in G$

Operasi-operasi berikut dapat diterapkan antara dua himpunan *fuzzy*, dimana elemen x berasal dari himpunan dasar G

- irisan (*intersection*)

$A \cap B$ didefinisikan dengan $\mu_{A \cap B}(x) = I(\mu_A(x), \mu_B(x))$,

dimana I disebut sebagai operator irisan.

- gabungan (*union*)

$A \cup B$ didefinisikan dengan $\mu_{A \cup B}(x) = U(\mu_A(x), \mu_B(x))$,

dimana U disebut sebagai operator gabungan

- komplemen (*complement*)

didefinisikan dengan $\mu_{\bar{A}}(x) = 1 - (\mu_A(x))$

seperti juga pada himpunan klasik, interpretasi di bawah ini diterapkan pada himpunan *fuzzy* :

- irisan bersesuaian dengan operator logika AND
- gabungan bersesuaian dengan operator logika OR
- komplemen bersesuaian dengan operator logika NOT

Algoritma dasar untuk implementasi matematis dari irisan, gabungan, dan komplemen adalah sebagai berikut :

- untuk irisan adalah minimum

$$\mu_{A \cap B}(x) = \text{Min}(\mu_A(x), \mu_B(x)), \quad x \in G \quad (2.6)$$

- untuk gabungan adalah maksimum

$$\mu_{A \cup B}(x) = \text{Max}(\mu_A(x), \mu_B(x)), \quad x \in G \quad (2.7)$$

- untuk komplemen adalah pengurangan dari satu.

$$\mu_{\bar{A}}(x) = 1 - (\mu_A(x)), \quad x \in G \quad (2.8)$$

Sebagai tambahan dari operator logika *fuzzy* dasar tersebut di atas, masih banyak pilihan untuk operator *fuzzy* lainnya, terutama untuk aplikasi non kontrol.

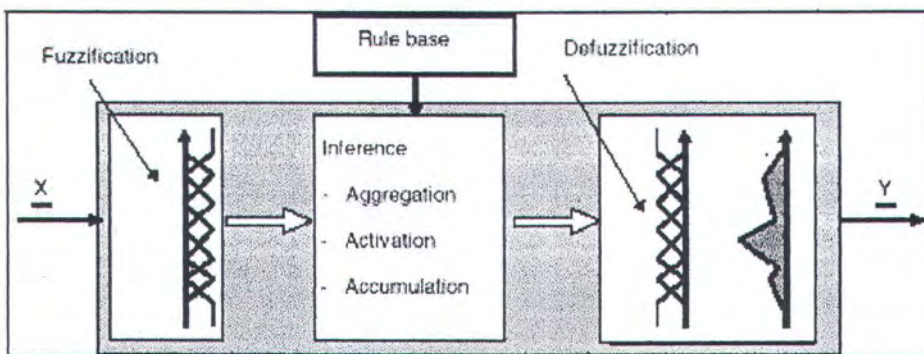
2.2 Kontrol Fuzzy¹

Kontrol *fuzzy* (*fuzzy control*) adalah kontrol *open* dan *close loop* dari proses teknis, termasuk proses dari nilai terukur, yang didasarkan pada penggunaan aturan *fuzzy* dan prosesnya dengan bantuan logika *fuzzy*.

Informasi masukan terdiri dari variabel nyata dalam bentuk variabel proses yang dapat diukur, *derived variables*, dan *set point*. Variabel keluaran dalam bentuk variabel terkoreksi. Transformasi harus ditunjukkan antara masukan dan keluaran dari proses dan bidang *fuzzy* (fuzzifikasi, defuzzifikasi). Komponen utama dari kontrol *fuzzy* terdiri atas aturan linguistik dari *rule base* dan *inference*.

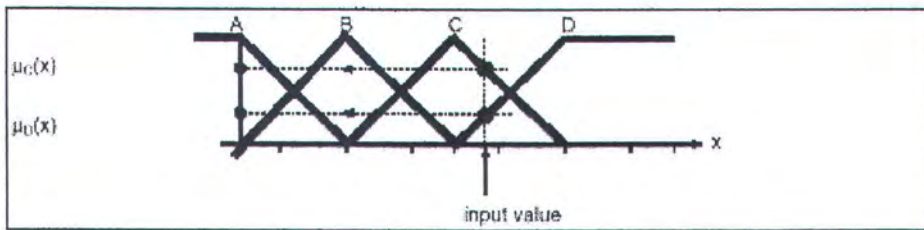
2.2.1 Fuzzifikasi

Pemetaan yang memetakan masukan yang bersifat *crisp* (bukan *fuzzy*) ke semesta himpunan *fuzzy* disebut fuzzifikasi. Di sini, variabel masukan ditentukan derajat keanggotaannya pada setiap *linguistic term* dari *linguistic variable* yang sesuai.



Gambar 2.2 Struktur dan elemen fungsional dari kontrol *fuzzy*

¹ IEC, *International Standard IEC 1131 - Programmable Controllers, Part 7 - Fuzzy Control Programming*. Committee Draft CD 1.0 (Rel. 19 Jan 97) (Frankfurt : international Task Force (TF8) of IEC/65B/WG7, 1996), pp.29-36.



Gambar2.3 Prinsip fuzzifikasi

2.2.2 Rule Base

Rule base berisi pengetahuan empiris yang mengacu pada operasi dari proses khusus. Aturan linguistik digunakan untuk merepresentasikan pengetahuan. Ini dapat dengan mudah ditunjukkan bahwa sebuah aturan *fuzzy* R_j yang berdasar pada kombinasi OR dari m pernyataan dapat direpresentasikan dengan m aturan, dimana pernyataan-pernyataan hanya dikombinasikan dengan AND. Gambar 2.4 dan 2.5 merupakan contoh dari representasi aturan yang berbeda.

Rule Base

- Definition of the rule base in textual form

R1: IF Condition P1 THEN Conclusion C1
R2: IF Condition P2 THEN Conclusion C2
R3: IF Condition P3 THEN Conclusion C3
...
R_n: IF Condition P_n THEN Conclusion C_n

where condition can consist of a combination of linguistic statements, e.g. for rule k

$P_k = P_{k1} \text{ AND } P_{k2} \text{ OR } (\text{NOT } P_{k3})$

and for conclusion there may be more than one, e.g.

$C_k = C_{k1}, C_{k2}$

Gambar 2.4 Representasi dari dasar pengetahuan dalam bentuk aturan linguistik

Definisi yang lebih umum dan pembuktian matematis dari *rule base fuzzy* didasarkan pada *modus ponens* tergeneralisasi dan prinsip implikasi *fuzzy*. Prinsip dan definisi yang digunakan di sini berlaku untuk kasus sederhana dari *rule base fuzzy*, pada dasarnya muncul inspirasi dari luasnya penggunaan pola *inference* Mamdani. Lebih banyak pola *inference* yang lebih sulit tidak dalam batas-batas standar ini. *Inference* terdiri atas tiga subfungsi *agregation*, *activation*, dan *accumulation* ditunjukkan pada gambar 2.6.

- *Agregation* :

Jika kondisi berisi satu subkondisi, maka keabsahan dari kondisi tersebut identik dengan kondisi itu, misal derajat pencapaian kondisi sesuai dengan kondisi. Bagaimanapun juga, jika kondisi berisi kombinasi dari beberapa subkondisi, derajat pencapaian harus ditentukan dengan *aggregation* dari nilai-nilai individual. Jika ada kombinasi AND dari subkondisi, derajat pencapaian dihitung dengan memakai operator logika *fuzzy* AND.

- *Activation*

Pada konklusi, subkonklusi berhubungan dengan variabel keluaran. Derajat keanggotaan konklusi ditentukan pada basis derajat pencapaian kondisi yang ditentukan dalam *aggregation* (konklusi IF A THEN B). Pada umumnya, MIN atau PROD digunakan untuk *activation*.

Jika *rule base* berisi aturan-aturan dengan faktor bobot w_k , dimana $w_k \in [0,1]$, ini dapat diterapkan dengan memakai perkalian.

$$a_k * = w_k \times a_k \quad (2.9)$$

• *Accumulation*

Hasil dari aturan dikombinasikan untuk memperoleh hasil keseluruhan. Algoritma maksimum biasanya digunakan untuk *accumulation*. Tabel 2.1 menunjukkan operator yang umumnya digunakan untuk langkah-langkah *inference* individual.

Tergantung pada kombinasi operator pada langkah individual, didapatkan strategi *inference* yang berbeda. Pengetahuan terbaik dinamakan *MaxMin inference* dan *MaxProd inference* , yang menggunakan maksimum untuk *accumulation* dan minimum atau produk aljabar untuk *activation*. Dalam kasus *MaxMin inference*, fungsi keanggotaan himpunan *fuzzy* dari konklusi dibatasi pada derajat pencapaian kondisi, dan kemudian dikombinasikan untuk menciptakan himpunan *fuzzy* dengan membentuk maksimum. Dalam *MaxProd inference*, sebaliknya, fungsi keanggotaan himpunan *fuzzy* dari konklusi diberi bobot, misal perkalian, dengan derajat pencapaian dari kondisi dan kemudian dikombinasikan.

Tabel 2.1 Langkah-langkah *inference* dan algoritma yang umum digunakan

<i>Langkah Inference</i>	<i>Operator</i>	<i>Algoritma</i>
<i>Aggregation</i>		
untuk AND	<i>Minimum</i>	$a_k = \text{Min} \{a_{K1}(x), a_{K2}(x)\}$
untuk OR	<i>Maksimum</i>	$a_k = \text{Max} \{a_{K1}(x), a_{K2}(x)\}$
<i>Activation</i>		
konversi dari konklusi IF-THEN		
	<i>Minimum</i>	$c_k' = \text{Min} \{a_k, \mu_{\alpha}(u)\}$
Faktor bobot dari setiap aturan		
	<i>Perkalian</i>	$c_k = \text{Mult}\{\omega_k, c_k'\} = \omega_k \times c_k'$
<i>Accumulation</i>	<i>Maksimum</i>	$\mu_{\text{accu}}(u) = \text{MAX} \{c_i(u)\}$

2.2.4 Defuzzifikasi

Inference mensuplai sebuah himpunan *fuzzy* atau fungsi keanggotaannya sebagai hasil. Sebuah elemen kontrol tidak dapat secara langsung memproses informasi *fuzzy* ini sehingga hasil proses *inference* diubah menjadi nilai numerik *crisp*. Dalam konteks ini, nilai *crisp* yang ditentukan (biasanya angka real) harus menyediakan representasi yang bagus dari informasi yang ada di dalam himpunan *fuzzy*.

Beberapa metode defuzzifikasi yang digunakan :

- Metode *Center of Gravity* (CoG)

Variabel keluaran *crisp* ditentukan sebagai nilai *abscissa*.

$$U = \frac{\int_{Min}^{Max} u * \mu(u) * du}{\int_{Min}^{Max} \mu(u) * du} \quad (2.10)$$

Jika fungsi keanggotaan nilai keluaran berupa *singleton*, perhitungan diberikan secara *Center of Gravity Method for Singleton* (COGS).

$$U(t_k) = \frac{\sum_{i=1}^p [U_i * a_i(t_k)]}{\sum_{i=1}^p [a_i(t_k)]} \quad (2.11)$$

- *Left Most Maximum* LM

Nilai dari variabel keluaran ditentukan di mana fungsi keanggotaan keluaran mencapai maksimum paling kiri.

- *Right Most Maximum* RM

Nilai dari variabel keluaran ditentukan di mana fungsi keanggotaan keluaran mencapai maksimum paling kanan.

- Metode *Centre of Area* (CoA)

Di sini, nilai keluaran ditentukan sebagai nilai *abscissa* dari pusat dimana membagi luasan di bawah fungsi keanggotaan menjadi 2 luasan yang sama.

2.3 Pengontrolan dengan Logika *Fuzzy*

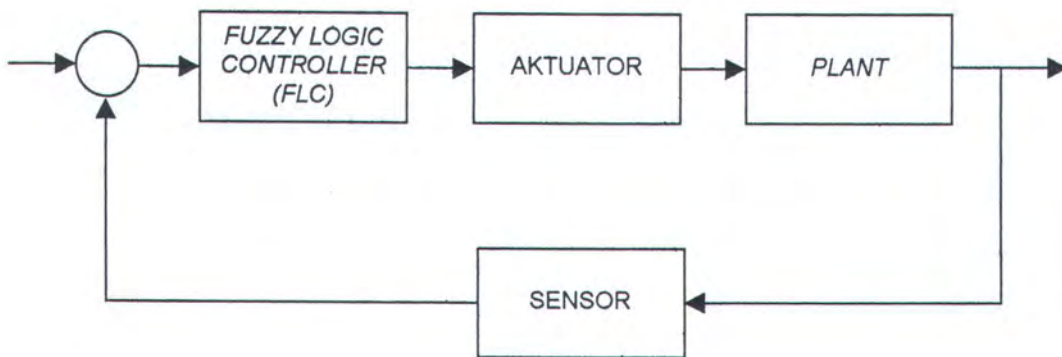
Tujuan utama suatu sistem kontrol adalah menghasilkan suatu keluaran yang dikehendaki untuk setiap masukan yang diberikan. Rangkaian usaha yang dilakukan untuk mengolah masukan menjadi keluaran yang dikehendaki disebut dengan proses kontrol. Secara konvensional dikenal beberapa proses kontrol yaitu metode *look-up table*, metode pemodelan secara matematis untuk mencari fungsi transfer antara masukan dan keluaran, dan metode dengan menggunakan logika *fuzzy*.

Model *look-up table* efektif hanya jika sistem yang dikontrol memiliki resolusi rendah dan variabel masukan sedikit. Kelemahan utama sistem ini adalah jika sistem rumit maka akan menghabiskan banyak tempat di memori, menimbulkan gangguan pada sistem karena adanya *event* yang tidak tertanggapi, dan meloncatnya nilai keluaran dari tabel ke tabel yang lainnya.

Model matematis dari suatu sistem harus secara tepat menggambarkan perilaku sistem terhadap masukan yang diberikan. Untuk sistem yang rumit, hal ini menjadikan pembuatan model matematis amat sulit, dengan hasil suatu persamaan yang kompleks dan sulit diaplikasikan. Pembuatan model matematis juga memerlukan keahlian khusus sehingga meningkatkan biaya desain. Kelemahan lain dari model ini adalah keterbatasan data yang ada sehingga tidak memungkinkan pembuatan model matematis dan mengurangi keakuratan sistem.

Penggunaan teknologi *fuzzy* dalam rekayasa proses dan sistem informasi akan menghasilkan alat-alat yang handal, tahan, luwes dan lebih canggih dibandingkan dengan alat-alat digital biasa. Hal ini akan memproduksi sistem pengambilan keputusan, sistem kontrol otomatis yang akan membawa kepada mesin yang memiliki daya pikir.

Struktur dasar penggunaan logika *fuzzy* untuk sistem kontrol ditunjukkan seperti gambar 2.7.



Gambar 2.7 Diagram blok sistem kontrol logika *fuzzy*

Sistem kontrol otomatis biasanya terdiri atas empat bagian utama, yaitu sensor, kontroler, aktuator, dan *plant*. Sensor berfungsi sebagai pengambil data perilaku sistem. Aktuator memberikan daya untuk menggerakkan *plant* (yaitu peralatan yang dikontrol), sehingga dicapai suatu harga yang diinginkan. Kontroler berfungsi memberikan sinyal perintah ke aktuator sesuai aksi kontrol menurut besarnya deviasi (*error*) yaitu selisih antara referensi dan keluaran yang terukur oleh sensor.

Sistem kontrol yang digunakan adalah sistem kontrol dengan umpan balik² karena sistem ini cenderung menjaga hubungan yang telah ditentukan antara keluaran dan masukan acuan dengan membandingkannya dan menggunakan selisihnya sebagai alat pengontrolan.

2.4 Mikrokontroler AT89C51

2.4.1 Konfigurasi AT89C51

- *Compatible* dengan MCS-51™
- *Reprogrammable Flash Memory 4 Kbyte* internal
(± 1000 kali program ulang)
- *Full* operasi statik : 0 Hz s.d. 24 MHz
- *Program Memory Lock* tiga tingkat
- RAM internal 128 x 8-bit
- *32 line Programmable I/O*
- Dua *Timer/Counter* 16-bit
- Enam *Interrupt Sources*
- Kanal *Programmable Serial*
- Mode *Low Power Idle* dan *Power Down*

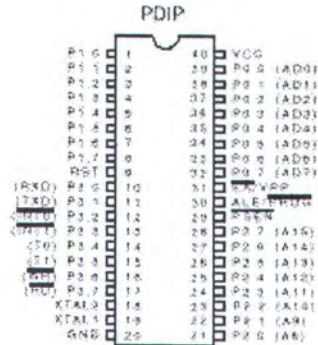
² Katsuhito Ogata, Edi Leksono, *Teknik Kontrol Automatik Jilid 1* (Jakarta : Erlangga, 1991), p.3.

AT89C51 memiliki konfigurasi standar : 4 *Kbyte* Flash ROM, 128 *byte* RAM, 32 *line programmable I/O*, *timer/counter* 16-bit, lima vektor arsitektur interupsi dua-tingkat, *port serial full duplex*, osilator internal dan *clock*. Konfigurasi tambahan, AT89C51 dirancang menggunakan *static logic* untuk operasi sampai dengan frekuensi nol dan tersedia dua mode *software selectable power saving*. Mode *idle* menghentikan CPU, tetap memfungsikan RAM, *timer/counter*, *port serial*, dan sistem interupsi. Mode *power down* menyimpan isi RAM tetapi menghentikan osilator sehingga menghentikan semua fungsi *chip* lainnya sampai *hardware* di-*reset*.

2.4.2 Deskripsi AT89C51

AT89C51 berdaya rendah, merupakan mikrokomputer 8-bit *high performance* CMOS dengan 4 *Kbyte Flash Programmable and Erasable Read Only Memory* (PEROM). Alat ini dirancang menggunakan teknologi Atmel *high density nonvolatile memory* yang *set* instruksi dan kaki-kakinya *compatible* dengan standar industri MCS-51™. *Flash memory* internal memudahkan pemrograman ulang dalam sistem maupun secara konvensional. Dengan menggabungkan CPU 8-bit serbaguna dengan *flash memory* pada sebuah *chip*, Atmel AT89C51 merupakan mikrokomputer yang sangat tangguh yang menyediakan fleksibilitas yang tinggi dan pemecahan efektifitas biaya pada banyak aplikasi kontrol.

2.4.3 Konfigurasi Kaki AT89C51



Gambar 2.8 Konfigurasi kaki Atmel AT89C51

V_{cc}

Suplai tegangan.

GND

Ground.

Port 0

Port 0 adalah sebuah *port I/O open drain bidirectional* 8-bit. Keluaran setiap kaki dapat menahan 8 buah masukan TTL. Saat logika '1' diberikan pada kaki-kaki port 0, maka kaki-kaki tersebut dapat digunakan sebagai masukan *high-impedance*.

Port 0 bisa juga dikonfigurasi untuk multipleks *low-order address* dan data selama mengakses program dan data memori eksternal. Pada mode ini P0 memiliki *pull-up* internal. Port 0 juga menerima *byte* kode selama *flash programming* dan mengeluarkan *byte* kode selama verifikasi program. Diperlukan *pull-up* eksternal selama verifikasi program.

Port 1

Port 1 adalah sebuah *port I/O open drain bidirectional* 8-bit dengan *pull-up* internal. *Buffer* keluaran *port 1* dapat menahan 4 masukan TTL. Ketika logika '1' ditulis pada kaki *port 1*, kaki tersebut di-*pull high* oleh *pull-up* internal dan dapat digunakan sebagai masukan. Sebagai masukan, kaki *port 1* yang di-*pull low* secara eksternal akan menghasilkan arus (I_{IL}) karena *pull-up* internal. *Port 1* juga menerima byte *low-order address* selama *flash programming* dan verifikasi program.

Port 2

Port 2 adalah sebuah *port I/O open drain bidirectional* 8-bit dengan *pull-up* internal. *Buffer* keluaran *port 2* dapat menahan 4 masukan TTL. Ketika logika '1' ditulis pada kaki *port 2*, kaki tersebut di-*pull high* oleh *pull-up* internal dan dapat digunakan sebagai masukan. Sebagai masukan, kaki *port 2* yang di-*pull low* secara eksternal akan menghasilkan arus (I_{IL}) karena *pull-up* internal.

Port 2 mengeluarkan byte *high-order address* selama pengambilan memori program eksternal dan selama mengakses memori data eksternal yang menggunakan alamat 16-bit (MOVX @DPTR). Pada aplikasi ini *port 2* menggunakan *pull-up* internal ketika menghasilkan logika '1'. Selama akses ke memori data eksternal yang menggunakan alamat 8-bit (MOVX @RI), *port 2* mengeluarkan isi dari *Special Function Register P2*. *Port 2* juga menerima bit-bit *high-order address* dan beberapa sinyal kontrol selama *flash programming* dan verifikasi program.

Port 3

Port 3 adalah sebuah port I/O open drain bidirectional 8-bit dengan pull-up internal. Buffer keluaran port 3 dapat menahan 4 masukan TTL. Ketika logika '1' ditulis pada kaki port 1, kaki tersebut di-pull-high oleh pull-up internal dan dapat digunakan sebagai masukan. Sebagai masukan, kaki port 3 yang di-pull low secara eksternal akan menghasilkan arus (I_{IL}) karena pull-up internal. Port 3 juga menerima beberapa sinyal kontrol untuk flash programming dan verifikasi program.

Port 3 juga melayani fungsi-fungsi lainnya sebagai berikut :

Tabel 2.2 Fungsi alternatif port 3

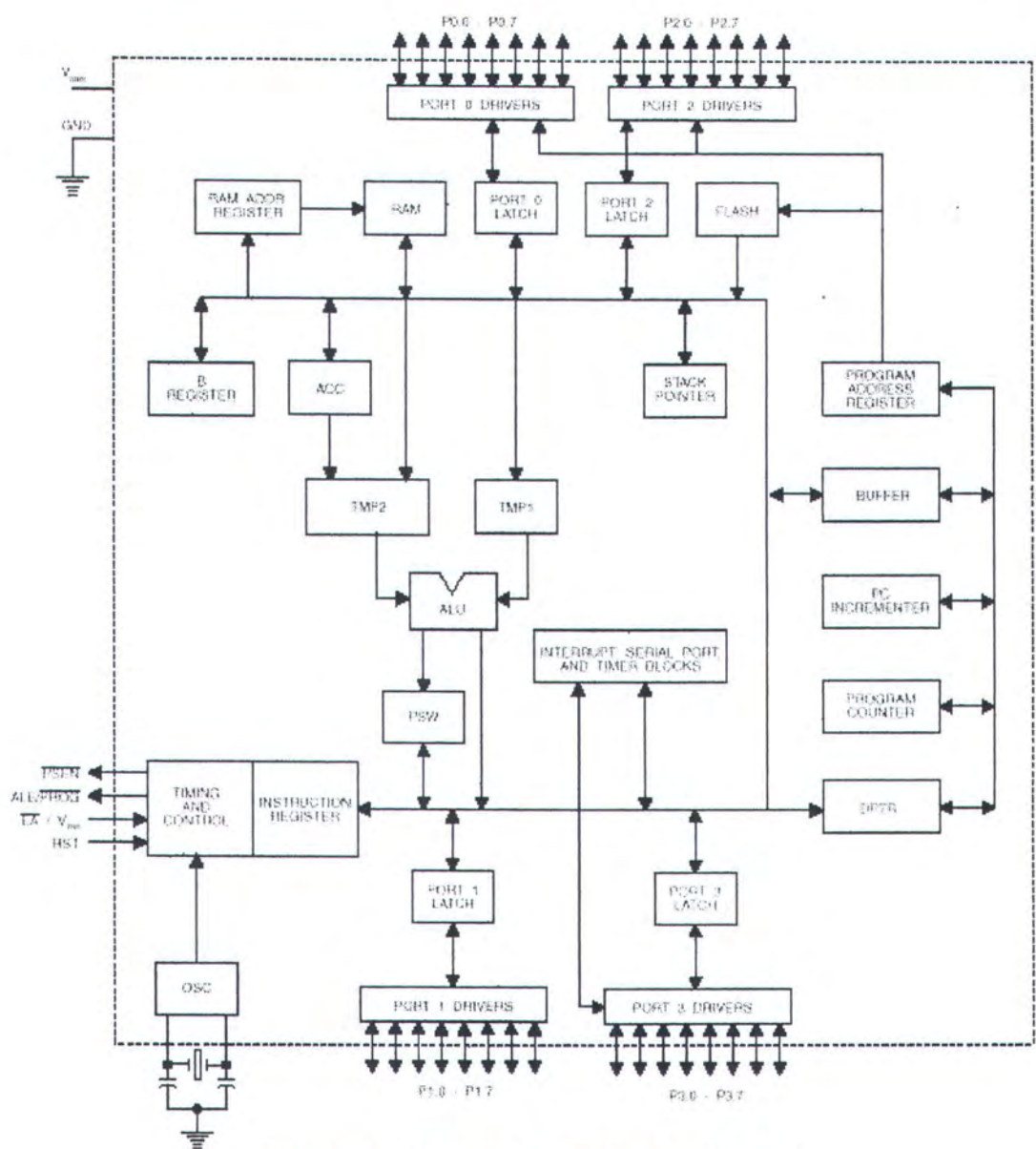
Kaki Port	Fungsi Alternatif
P3.0	RXD (port Serial Input)
P3.1	TXD (port Serial Output)
P3.2	INT0 (External Interrupt 0)
P3.3	INT1 (External Interrupt 1)
P3.4	T0 (Timer 0 External Input)
P3.5	T1 (Timer 1 External Input)
P3.6	WR (external data memory write strobe)
P3.7	RD (external data memory read strobe)

RST

Reset input. Ketika osilator bekerja, sinyal high pada kaki ini selama dua siklus mesin akan me-reset alat ini.

ALE/PROG

Address Latch Enable mengeluarkan pulsa untuk menahan byte rendah dari alamat selama mengakses memori eksternal. Kaki ini juga sebagai masukan pulsa program (PROG) selama flash programming.



Gambar 2.9 Diagram Blok Atmel AT89C51

Dalam operasi normal, ALE mengeluarkan 1,6 kali frekuensi osilator secara konstan, dan bisa digunakan untuk pewaktu eksternal atau berfungsi sebagai *clock*. Dengan catatan 1 pulsa terabaikan selama mengakses memori data eksternal.

Bila diinginkan, Operasi ALE dapat di-*disable* dengan men-*set* bit 0 lokasi 8EH pada SFR. Dengan men-*set* bit tersebut, ALE akan aktif hanya pada saat instruksi MOVX atau MOVC. Jika tidak, kaki ini di-*pull high* dengan lemah.

Penge-set-an bit *ALE-disable* tidak menimbulkan efek bila mikrokontroler dalam mode eksekusi eksternal.

PSEN

Program Store Enable adalah sebuah *read strobe* untuk memori program eksternal. Pada saat AT89C51 mengeksekusi kode dari memori program eksternal, PSEN diaktifkan dua kali pada setiap siklus mesin, kecuali aktivasi 2 PSEN itu diabaikan selama tiap kali akses ke memori data eksternal.

EA/V_{PP}

External Access Enable. EA harus dihubungkan ke GND supaya mengaktifkan AT89C51 untuk mengambil kode dari memori program eksternal yang berada pada lokasi 0000H sampai dengan FFFFH. Bagaimanapun juga apabila *lock bit* 1 diprogram, EA akan ditahan secara internal pada saat *reset*. EA harus dihubungkan pada V_{CC} untuk eksekusi program internal. Kaki ini juga menerima tegangan *programming enable* 12 volt (V_{PP}) selama *flash programming* untuk IC yang memerlukan V_{PP} 12 volt.

XTAL1

Masukan ke *inverting oscillator amplifier* dan masukan ke *internal clock operating circuit*.

XTAL2

Keluaran dari *inverting oscillator amplifier*.

2.4.4 Organisasi Memori³

Semua mikrokontroler keluarga MCS-51 memiliki pembagian ruang alamat (*address space*) untuk program dan data secara terpisah. Maksimum memori program dan data yang masih dapat diakses masing-masing sejumlah 64K alamat.

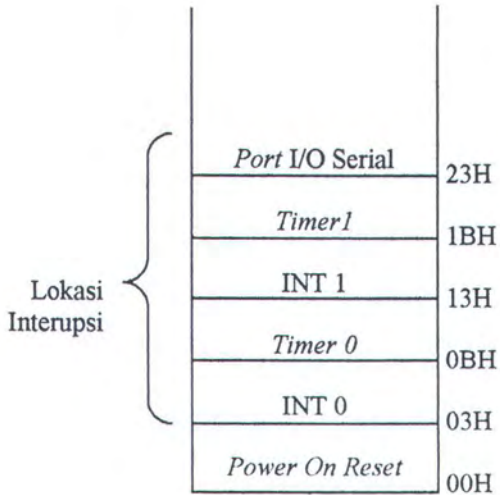
Memori program hanya dapat dibaca saja, sementara memori data bisa dibaca dan ditulis. Pembacaan memori program eksternal dengan kaki EA=0 dan kaki EA=1 untuk memori program internal. Sinyal yang membolehkan pembacaan memori program eksternal adalah kaki PSEN (*program store enable*), sedang untuk pembacaan memori data eksternal, CPU mengirim sinyal READ dan WRITE.

Mikrokontroler MCS-51 memiliki 5 buah ruang alamat, yaitu :

1. Ruang alamat kode sebanyak 64K yang seluruhnya merupakan ruang alamat kode eksternal (*off-chip*).
2. Ruang alamat data internal yang dapat dialamati secara langsung, yang terdiri atas RAM sebanyak 128 *byte* dan *hardware register* sebanyak 128 *byte*
3. Ruang alamat data internal yang dialamati secara tidak langsung sebanyak 128 *byte*, seluruhnya diakses dengan pengalamatan tidak langsung.
4. Ruang alamat data eksternal sebanyak 64K *byte* (*off-chip*) yang dapat ditambahkan oleh pemakai.
5. Ruang alamat bit dapat diakses dengan pengalamatan bit langsung.

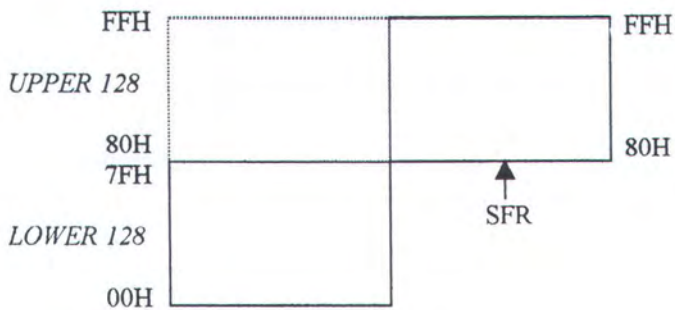
³ Moh. Ibnu Malik dan Anistardi, *Bereksperimen dengan Mikrokontroler* (Jakarta : PT. Elex Media Komputindo, 1997), pp.9-12

Bagian bawah memori program digunakan untuk alokasi instruksi interupsi yang ada. Setiap interupsi memiliki lokasi tetap dalam memori program.



Gambar 2.10 Alokasi interupsi pada memori program

Memori data internal dipetakan seperti gambar 2.11. Ruang memorinya dibagi menjadi 3 blok, yaitu *lower* 128, *upper* 128, dan ruang *special function register* (SFR) 128.



Gambar 2.11 Memori data internal

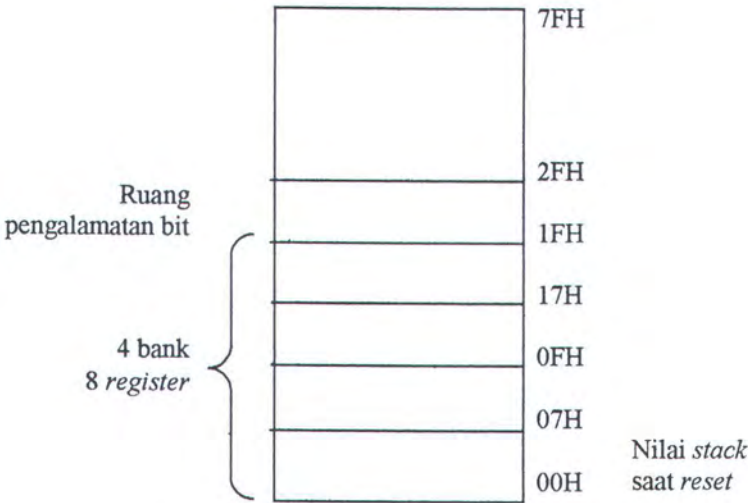
SFR berisi *register-register* dengan fungsi tertentu. Tabel 2.3 merupakan nama-nama, simbol dan alamat dari SFR.

Tabel 2.3 *Special Function Register* ⁴

Simbol	Nama	Alamat
ACC	Akumulator	E0H
B	Register B	F0H
PSW	Program Status Word	D0H
SP	Stack Pointer	81H
DPTR	Data Pointer 16 bit	
	DPL byte rendah	82H
	DPH byte tinggi	83H
P0	Port 0	80H
P1	Port 1	90H
P2	Port 2	A0H
P3	Port 3	B0H
IP	Interrupt Priority Control	B8H
IE	Interrupt Enable Control	A8H
TMOD	Timer/Counter Mode Control	89H
TCON	Timer/Counter Control	88H
TH0	Timer/Counter 0 High byte	8CH
TL0	Timer/Counter 0 Low byte	8AH
TH1	Timer/Counter 1 High byte	8DH
TL1	Timer/Counter 1 Low byte	8BH
SCON	Serial Control	98H
SBUF	Serial Buffer	99H
PCON	Power Control	87H

Bagian bawah dari 128 byte dipetakan seperti gambar 2.12. Tiga puluh dua byte paling bawah dikelompokkan dalam 4 bank (8 register), yaitu R0 sampai R7. Dua bit dalam *program status word* (PSW) digunakan untuk memilih bank register yang digunakan.

⁴ Ibid., p.19



Gambar 2.12. Bagian bawah 128 byte RAM internal

2.4.5 *Timer/Counter*⁵

Pada mikrokontroler AT89C51 terdapat 2 buah *timer/counter* 16 bit yang dapat diatur melalui perangkat lunak, yaitu *timer/counter* 0 dan *timer/counter* 1. Apabila *timer/counter* diaktifkan pada frekuensi kerja mikrokontroler 12 MHz, *timer* akan melakukan perhitungan waktu sekali setiap 1 μ s secara bebas, tidak tergantung pada pelaksanaan suatu instruksi.

- sebagai *timer/counter* 8 bit

$$T = (255 - TLx) * 1 \mu s \tag{2.12}$$

di mana TLx adalah isi *register* TL0 atau TL1

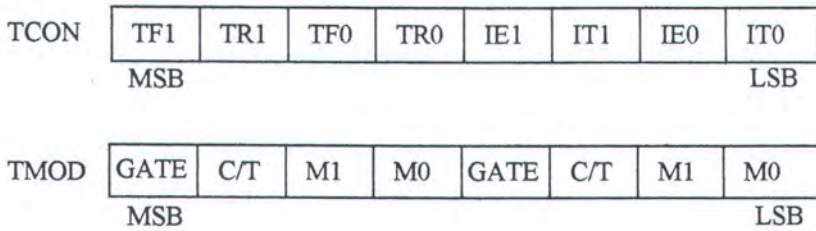
- sebagai *timer/counter* 16 bit

$$T = (65535 - THx TLx) * 1 \mu s \tag{2.13}$$

TLx adalah isi *register* TL0 atau TL1

THx adalah isi *register* TH0 atau TH1

⁵ Ibid., pp.20-23



Gambar 2.13 Pengontrol kerja dan pemilih mode operasi *timer/counter*

Pengontrol kerja *timer/counter* adalah *register timer control* (TCON), yang terdiri atas TF_x yang merupakan *timer x overflow*, di-*set* oleh perangkat keras saat *timer/counter* menghasilkan limpahan (*overflow*), TR_x adalah bit untuk menjalankan *timer x*, di-*set* oleh perangkat lunak untuk membuat *timer on* atau *off*, IE_x eksternal *interrupt_x edge flag*, IT_x *interrupt_x* tipe kontrol bit, *set* atau *clear* oleh perangkat lunak untuk menspesifikasikan sisi turun atau level rendah *trigger* dari interupsi eksternal.

Pengontrol pemilih mode operasi *timer/counter* adalah *register timer mode* (TMOD) yang terdiri atas GATE yang saat TR_x di-*set* dan GATE=1, *timer/counter x* akan berjalan ketika TR_x = 1 (*timer* dikontrol perangkat lunak), C/T adalah pemilih fungsi *timer* atau *counter*, *clear* untuk operasi *timer* dengan masukan dari sistem *clock* internal, *set* untuk operasi *counter* dengan masukan dari kaki T0 atau T1.

- Mode 0

Register timer disusun sebagai *register* 13 bit. Setelah semua perhitungan selesai, mikrokontroler akan men-*set* *Timer Interrupt Flag* (TF1). Dengan membuat GATE = 1, *timer* dapat dikontrol oleh masukan luar INT1, untuk fasilitas pengukuran lebar pulsa.

- Mode 1

Sama dengan mode 0 kecuali *register timer* akan bekerja dalam 16 bit.

- Mode 2

Sebagai 8 bit *counter*, *overflow* dari TL1 tidak hanya men-*set* TF1, tetapi juga mengisi TL1 dengan TH1 diatur secara *software*, pengisian ini tidak merubah TH1.

- Mode 3

Timer 1 dalam mode 3 hanya memegang hitungan. Efeknya sama dengan men-*set* TR1 = 0. *Timer* 0 dalam mode 3 menetapkan TL0 dan TH0 sebagai dua *counter* terpisah. TL0 menggunakan kontrol bit *timer* 0 yaitu C/T, GATE, TR0, INT0, dan TF0. TH0 ditetapkan sebagai fungsi *timer*.

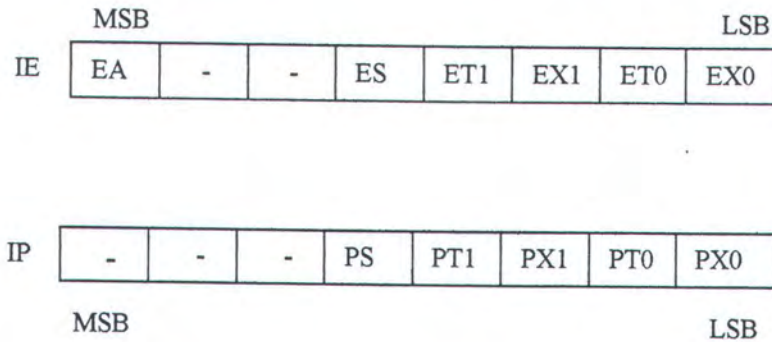
Mode 3 diperlukan untuk aplikasi yang memerlukan *timer/counter* ekstra 8 bit. Dengan *timer* 0 pada mode 3, seakan-akan memiliki 3 *timer/counter*. Saat *timer* 0 dalam mode 3, *timer* 1 dapat digunakan atau dimatikan, atau dapat digunakan oleh *port* serial sebagai pembangkit *baud rate*.

2.4.6 Interupsi ⁶

Interupsi ada 2 jenis, yang tak dapat dihalangi oleh *software* (*non maskable interrupt*), contohnya *Reset*, dan interupsi yang dapat dihalangi oleh *software* (*maskable interrupt*, yang termasuk jenis ini adalah INT0 dan INT1 (eksternal), *timer/counter* 0, *timer/counter* 1, dan interupsi dari *port* serial (internal)).

⁶ Ibid., pp.16-19

Ada 2 *register* yang mengontrol interupsi, yaitu IE (*interrupt enable*) dan IP (*interrupt priority*). AT89C51 tidak akan menanggapi permintaan interupsi jika suatu instruksi belum dilaksanakan secara lengkap (dapat selama 4 siklus).



Gambar 2.14 *Register Interrupt Enable (IE) dan Interrupt Priority (IP)*

Register IE memiliki bit-bit EA untuk melumpuhkan seluruh interupsi (EA=0) bila EA=1 maka setiap interupsi dapat digunakan atau dilumpuhkan secara individual, ES, ET1, EX1, ET0, dan EX0 masing-masing adalah bit pembuat *enable port serial*, *timer 1*, INT1, *timer 0*, dan INT0.

Register IP terdiri atas bit-bit PS, PT1, PX1, PT0, PX0 berturut-turut adalah prioritas interupsi *port serial*, *timer 1*, INT1, *timer 0*, dan INT0. *Priority bit*=1 menandakan prioritas tinggi, dan *priority bit*=0 menandakan prioritas rendah.

2.5 Tomografi Konvensional⁷

2.5.1. Fungsi

Tomografi merupakan tipe spesial dari *imaging* yang dipakai untuk mendapatkan gambar diagnostik dari suatu lapisan khusus dari jaringan atau obyek yang tertutup oleh lapisan atau obyek lainnya. Ini diselesaikan dengan memanfaatkan peralatan tambahan yang memungkinkan tabung sinar-x dan film untuk bergerak dengan berporos pada titik *fulcrum* selama *ekspose*. Hasil radiografinya disebut tomogram, yang memperlihatkan sebuah gambar jelas dari sebuah obyek yang terletak di dalam bidang khusus dan mengaburkan obyek yang berada di atas dan di bawah bidang khusus tersebut.

2.5.2 Terminologi

Tomogram menunjukkan gambar dari bagian tubuh, film tipe ini kadang-kadang disebut *body section radiography*. Istilah lain yang sering digunakan untuk tomografi diantaranya planigrafi, stratigrafi, dan laminografi. International Commission on Radiological Units and Measures (ICRU) pada 1962 mengeluarkan istilah tomografi untuk semua bentuk *body section radiography*.

Beberapa istilah yang sering dipakai :

- *Tomogram* – radiograf yang dihasilkan oleh unit tomografi.
- *Fulcrum* – titik poros dari tongkat penghubung tabung sinar-x dan film.
- *Objective plane (focal plane)* – suatu bidang dimana obyek jelas dan fokus.

⁷ Tortorici, M., *Concept in Medical Radiographic Imaging* (Philadelphia: W.B. Saunders Co., 1992) pp. 569-577.

- *Sectional thickness* - ketebalan dari obyek atau bidang fokus. (Ini merupakan variabel, dikontrol oleh sudut *ekspose* dan gerakan tabung)
- *Exposure angle* – sudut yang dihasilkan dari pergerakan berkas sinar-x.
- *Tube movement* (atau *shift*) – jarak perjalanan tabung.
- *Amplitude* – kecepatan pergerakan tabung diukur dalam inci atau cm/detik.
- *Tube trajectory* – konfigurasi geometrik atau bentuk pergerakan tabung.
- *Blur* - daerah yang kabur/rusak dari obyek di luar bidang obyektif.
- *Blur margin* - tepi luar dari obyek yang kabur.

2.5.3 Tube Trajectories

Ada 5 tipe dasar lintasan (*trajectory*) untuk pergerakan tabung dalam tomografi, dari yang sederhana sampai yang paling kompleks :

- | | | |
|-------------------------|-------|---------------------------|
| 1. <i>Linear</i> | ----- | (<i>unidirectional</i>) |
| 2. <i>Elliptical</i> | } | (multi-directional) |
| 3. <i>Circular</i> | | |
| 4. <i>Spiral</i> | | |
| 5. <i>Hypocycloidal</i> | | |

Pada lintasan linier (kadang-kadang tersedia dalam bentuk *vertilinear* dan *curvilinear*) tabung bergerak dalam satu arah, sehingga disebut sebagai "*unidirectional*". Lintasan tabung *elliptical*, *circular*, *spiral*, dan *hypocycloidal* semuanya bergerak pada beberapa arah, sehingga disebut sebagai *multidirectional* (*pluridirectional*).

2.5.4 Pergerakan Tabung *Unidirectional*

Tomografi linier atau *unidirectional* meliputi tipe peralatan yang tidak terlalu kompleks. Hal ini memanfaatkan meja sinar-x dasar dengan *bucky tray* dan tabung di atas dihubungkan dengan lengan penghubung metal atau batang. Batang ini melalui perlengkapan pengatur level *fulcrum*. Pelengkapan ini digunakan untuk mengatur ketinggian level *fulcrum*.

Pergerakan tabung dihasilkan oleh motor. Selama tabung bergerak sepanjang sumbu longitudinal meja, pengunci tabung longitudinal harus terbuka. Pengunci *bucky tray* dan pengunci sudut tabung juga harus terbuka untuk mengizinkan bergerak bebas.

2.5.5 Panel Kontrol

Unit tomografi dioperasikan oleh panel kontrol tersendiri. Pilihan pada panel kontrol bervariasi pada tiap unit. Ciri-ciri umum peralatan kontrol adalah untuk mengatur :

- kecepatan gerak tabung (dalam inci atau cm per detik) dengan amplitudo yang dapat diubah.
- *objective plane* (ketebalan bidang fokus, atau ketebalan setempat)
- arah atau tipe pergerakan tabung (pada peralatan dengan kemampuan *multidirectional*)
- menengahkan tabung
- level *fulcrum*

Beberapa unit dirancang sehingga semua fasilitas kecuali pengatur level *fulcrum* berada pada ruang kontrol. Pada peralatan ini, sudah umum bila pengatur level *fulcrum* ditempatkan langsung pada pengait *fulcrum* yang terhubung pada meja sinar-x. Peralatan lain mungkin juga mempunyai pemilih sudut *ekspose* yang ditempatkan pada meja sinar-x daripada di daerah pojok kontrol.

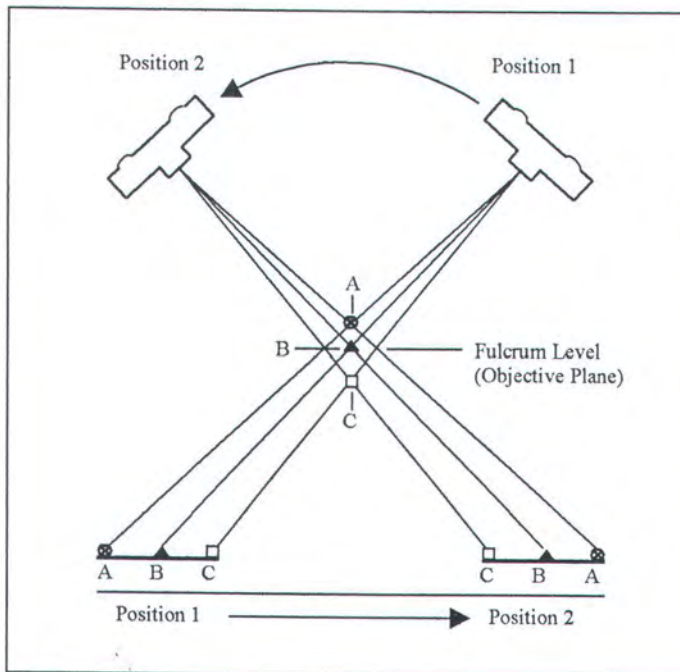
Sebagian besar dari obyek diparalel dengan pergerakan tabung pada peralatan dengan pergerakan tabung *unidirectional* atau linier. Hal ini membatasi jumlah pengaburan pada tomogram. Hal ini juga menciptakan gambar yang memiliki coretan. Kejernihan gambar mungkin juga diperbaiki dengan memaksimalkan jumlah dari pergerakan tegak lurus dari tabung terhadap obyek. Hal ini dapat diterima dengan mengubah tipe pergerakan tabung menjadi *multidirectional*.

2.5.6 Pergerakan Tabung *Multidirectional*

Dari empat tipe *multidirectional*, yang paling sederhana adalah gerakan ellips, yang memiliki sedikit variasi dari linier. Gerakan sirkular satu tahap lebih kompleks daripada ellips. Dua gerakan *multidirectional* yang paling kompleks adalah spiral dan *hypocycloidal*. Semakin kompleks gerakan *multidirectional* semakin tipis bidang obyektif yang dihasilkan dan semakin jelas gambar yang dihasilkan.

2.5.7 Fulcrum

Fulcrum adalah titik poros dimana tabung sinar-x dan film bergerak. Titik poros ini sangat penting karena semua struktur yang berada pada bidang ini (bidang obyektif) dan diparalel dengan pergerakan tabung tetap tajam dan fokus karena semuanya pada posisi yang sama (struktur tidak bergerak) pada film selama *ekspose*. Sebaliknya, semua obyek yang berlokasi di luar bidang obyektif, baik di atas maupun di bawah diproyeksikan dari satu titik pada film ke titik lainnya. Sebagai contoh, lihat titik A pada gambar 2.15, ketika film dan tabung bergerak dari posisi 1 ke posisi 2. Titik A semula ada pada tepi kiri film pada posisi 1, tetapi akhirnya berada pada tepi kanan pada posisi 2 menghasilkan gerakan atau pengaburan obyek pada titik A.



Gambar 2.15 Prinsip "Blurring" Tomografi

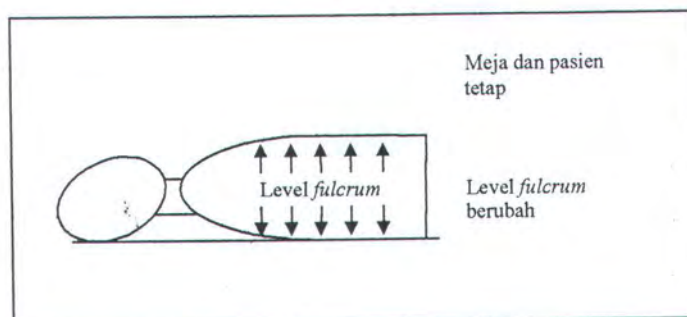
Titik C di bawah level *fulcrum*, dengan cara yang sama dikaburkan ketika diproyeksikan dari satu tepi film sampai tepi film lainnya. (Titik C berada pada tepi kiri film pada posisi 1, dan akhirnya berada pada tepi kiri film pada posisi 2).

Jumlah gerakan dari struktur-struktur ini ditentukan oleh jarak obyek dari *fulcrum*. Konsekuensinya, obyek yang tetap tidak bergerak terlihat jelas (tajam) pada tomogram dan obyek di atas dan di bawah *fulcrum* bergerak sehingga hasilnya kabur. Hal ini didasarkan pada prinsip pengaburan tomografi (*tomographic blurring principle*).

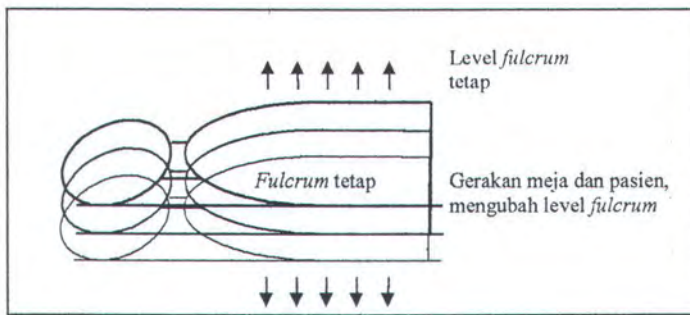
2.5.8 *Fulcrum* Variabel dan *Fulcrum* Tetap

Level *fulcrum* digunakan untuk menentukan level anatomi yang diinginkan untuk diambil gambarnya. Hal ini bisa dicapai dengan dua cara. Metode yang paling sederhana adalah menggunakan *fulcrum* variabel (dapat diatur atau bergerak), ditunjukkan pada gambar 2.16.

Metode kedua meliputi *fulcrum* tetap dan tinggi meja yang dapat diatur (gambar 2.17). Cara ini lebih sering dipergunakan pada peralatan tomografi *multidirectional* atau peralatan khusus. Pada sistem ini, level *fulcrum* dapat diubah dengan menggerakkan pasien dan meja ke atas atau ke bawah sampai bidang yang diinginkan pada pasien berada pada level *fulcrum* tetap.



Gambar 2.16 *Fulcrum* variabel

Gambar 2.17 *Fulcrum tetap*

2.5.9 Menentukan Level Fokus dan Pemusatan

Untuk menentukan pemusatan dan menentukan di mana level *fulcrum* seharusnya. Dua buah radiograf konvensional 90° diambil, misalnya PA atau AP dan dada *lateral* untuk tomogram dari daerah yang diduga di dalam paru-paru. Satu radiograf, PA, menunjukkan lokasi obyek yang diinginkan relatif terhadap posisi *lateral* (kiri/kanan), misal 5 cm ke kanan dari tulang belakang. Radiograf *lateral* digunakan untuk menentukan posisi *anterior/posterior*, misalnya 10 cm *posterior* ke arah tulang dada. Kedua radiograf ini berguna untuk menentukan lokasi *superior/inferior* dari obyek.

Dengan menggunakan radiograf PA dan *lateral*, dapat diketahui dengan pasti lokasi dasar dari organ, teknolog dapat memperkirakan sisi dari obyek atau area khusus yang diinginkan. Tomogram pemandu awal diambil dengan *fulcrum* dipasang pada level yang diperkirakan dari area khusus yang diinginkan. Pemusatan akan dikerjakan dengan menentukan jarak tertentu sesuai dengan perhitungan dari radiograf PA dan/atau *lateral* dari peta posisi yang telah diketahui.

2.5.10 Pengaburan (*Blur*)

Pengaburan didefinisikan sebagai area yang rusak dari obyek di luar bidang obyektif. Dalam tomografi, suatu struktur yang menumpuki obyek yang diinginkan dikaburkan. Obyek atau struktur yang kabur pada pasien ini adalah yang berada di atas maupun di bawah level yang diinginkan pada level *fulcrum*.

Ada empat faktor pengontrol dan faktor yang mempengaruhi jumlah pengaburan, yaitu :

- (1) Jarak obyek dari bidang obyektif
- (2) Sudut *ekspose* (besarnya sudut pergerakan tabung dari posisi 1 ke posisi 2).
- (3) Jarak obyek dari film
- (4) Pergerakan tabung (bentuk gerakan tabung).

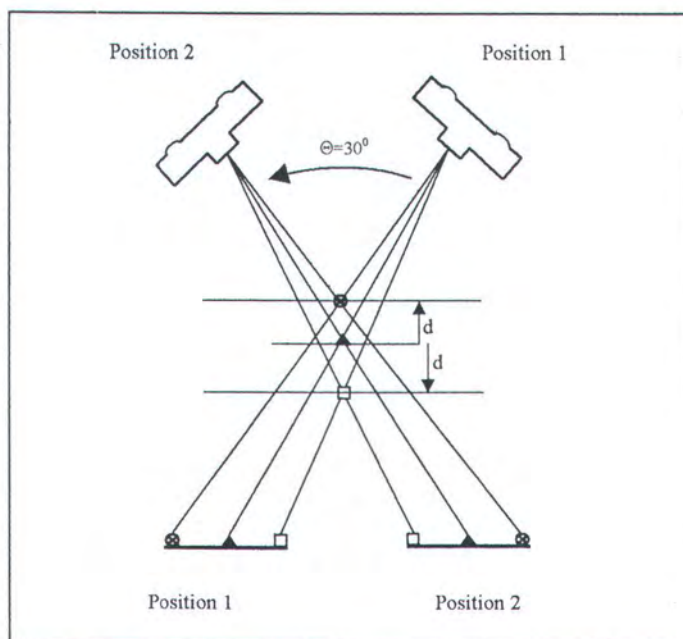
Besarnya pengaburan dipengaruhi oleh dua faktor pertama, (1) jarak obyek dari bidang obyektif dan (2) sudut *ekspose*, ditunjukkan dengan rumus berikut :

$$Movement = 2d \tan \Theta/2 \quad (2.14)$$

Movement adalah ukuran pengaburan dimana *d* adalah jarak obyek dari *fulcrum*, dan Θ adalah sudut *ekspose*.

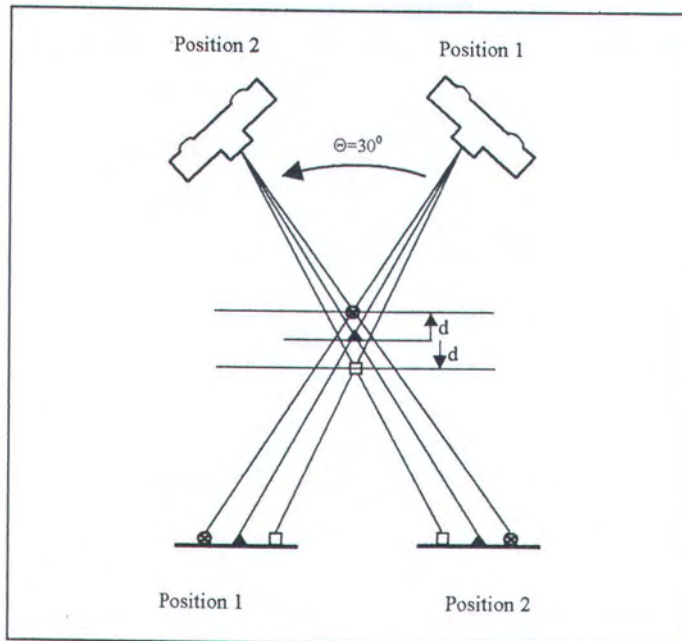
(1) Jarak obyek dari bidang obyektif (*d*) : Rumus di atas menyatakan bahwa jika semua faktor konstan, kecuali *d*, maka apabila *d* bertambah, *movement* atau pengaburan bertambah. Hal ini ditunjukkan dengan membandingkan gambar 2.18 dan 2.19 dimana sudut *ekspose* konstan pada 30° , tetapi *d* berubah (jarak dari bidang *fulcrum* dengan obyek di atas maupun di bawah). Gambar 2.18, dengan jarak *d* lebih besar, memiliki *movement* yang lebih besar dari obyek A dan C pada film dari posisi 1 ke posisi 2, sehingga menambah pengaburan.

Hal ini menunjukkan bahwa obyek pada tubuh yang lebih jauh jaraknya dari bidang fokus memiliki *movement* yang lebih besar sehingga menambah pengaburan.



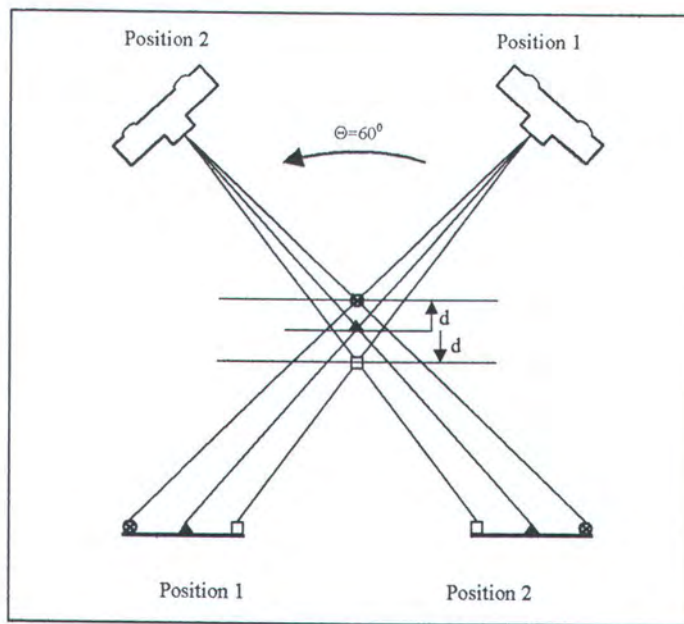
Gambar 2.18 Penambahan d , berarti penambahan *movement/blurring*

(2) Sudut *ekspose* (Θ) : Rumus tersebut di atas juga menunjukkan bahwa apabila hanya Θ (sudut *ekspose*) yang bertambah dan faktor lainnya konstan, maka *movement* atau pengaburan bertambah. Hal ini ditunjukkan dengan membandingkan gambar 2.20 pada sudut *ekspose* 60° , dengan sudut 30° pada gambar 2.19. Sudut *ekspose* 60° menambah *movement* dari obyek A dan C meskipun d tidak berubah, sehingga menambah pengaburan.

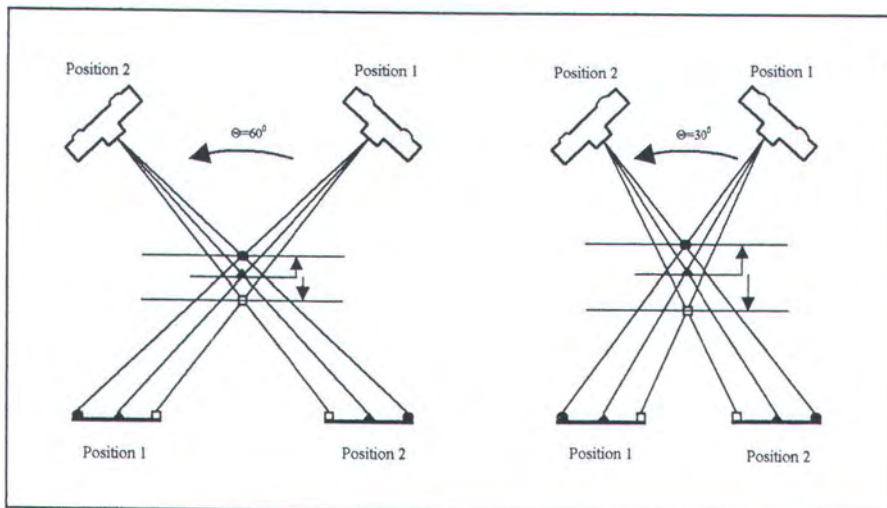


Gambar 2.19 Pengurangan d , berarti pengurangan *movement/blurring*

Kesimpulan rumus : Rumus di atas menunjukkan bahwa jika jarak obyek dari bidang obyektif bertambah dan/atau jika sudut *ekspose* bertambah, terjadi penambahan jumlah pengaburan. Efek samping dari penambahan pengaburan ini adalah menipisnya bidang fokus (bidang obyektif) seperti yang ditunjukkan pada pembahasan selanjutnya (gambar 2.21).



Gambar 2.20 Penambahan sudut *ekspose*, berarti penambahan *movement* dan menambah pengaburan



Gambar 2.21 *Sectional Thickness* (ketebalan bidang obyektif)

(3) Jarak obyek dengan film : Faktor ketiga yang mempengaruhi pengaburan adalah jarak obyek dari film. Jika jarak dari film bertambah, pengaburan bertambah. Ini bukan merupakan variabel kontrol yang dapat diatur, tetapi

ditentukan oleh ketebalan tubuh, atau oleh lokasi umum atau jarak obyek yang akan diambil gambarnya terhadap film.

(4) Bentuk pergerakan tabung : Faktor keempat dan terakhir yang mempengaruhi atau mengontrol jumlah pengaburan adalah bentuk pergerakan tabung. Pengaburan maksimum dari obyek terjadi bila struktur tegak lurus terhadap arah pergerakan tabung. Pada pergerakan *unidirectional* atau linier, pergerakan tabung hanya satu arah. Hal ini menghasilkan obyek yang paralel dengan pergerakan tabung dalam porsi yang besar. Sehingga lebih sedikit pengaburan terjadi dengan pergerakan tabung *unidirectional*.

Sebaliknya, pergerakan tabung *multidirectional* menghasilkan sedikit obyek yang paralel dengan total pergerakan tabung. Sehingga pergerakan tabung ellips atau sirkular menghasilkan pengaburan yang lebih besar.

Bentuk pengaburan maksimum : Bentuk pergerakan tabung spiral dan *hypocycloidal* menghasilkan pengaburan maksimum di dalamnya termasuk dimensi vertikal sebagai bagian dari pergerakan *multi-tiered* yang menghasilkan pengaburan maksimum dari struktur yang dekat maupun jauh dari bidang fokus. Pergerakan ini paling bermanfaat pada prosedur tomografi yang meliputi tengkorak seperti struktur bagian dalam mata yang kecil yang memerlukan bidang fokus 1 mm atau lebih kecil.

2.5.11 Sectional Thickness (ketebalan bidang obyektif)

Pengaburan bertambah jika jarak dari level *fulcrum* atau bidang obyektif bertambah. Sehingga hal ini menghasilkan proses bertahap dari pengaburan dengan struktur yang dekat dengan level *fulcrum* sedikit kabur, dan struktur yang

paling jauh paling kabur. Demikian juga, mata manusia dibatasi dalam kemampuannya untuk membedakan antara kabur dan tidak kabur. Jadi mata manusia menerima besar pengaburan tertentu. Jumlah pengaburan yang dapat ditangkap mata ini subyektif dan bervariasi pada setiap individu. Faktor kombinasi ini menghasilkan apa yang disebut dengan *sectional thickness* atau ketebalan bidang obyektif.

Semakin besar pengaburan terjadi, semakin tipis bidang obyektif. Faktor utama yang mempengaruhi *sectional thickness*, dan yang dapat dikontrol operator adalah sudut *ekspose* (gambar 2.21). Ini bermanfaat untuk mengatur ketebalan bidang obyektif dan obyek yang akan diambil gambarnya. Obyek-obyek kecil lebih baik diambil gambarnya menggunakan bidang obyektif yang tipis dengan sudut *ekspose* lebih besar. Dan untuk obyek yang besar, seperti paru-paru, harus menggunakan bidang obyektif yang tebal dengan sudut *ekspose* yang kecil.

Ada beberapa macam tomografi konvensional, yaitu :

- *Autotomography (Breathing Technique)*
- *Pantomography (Panorex)*
- *Skip Tomography*
- *Computed Tomography (CT).*

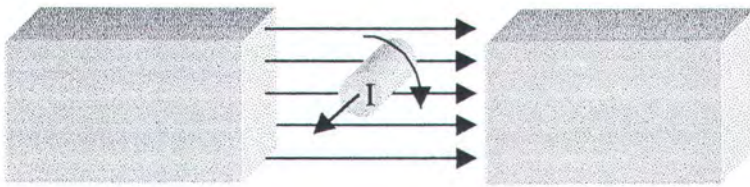
2.6 Motor Arus Searah (DC)

Motor arus searah merupakan suatu alat yang berfungsi mengubah tenaga listrik arus searah menjadi tenaga gerak atau tenaga mekanik yang berupa putaran pada rotor. Motor arus searah mempunyai prinsip kerja berdasarkan percobaan

Lorentz⁷ yang menyatakan "Jika sebatang penghantar listrik yang berarus berada di dalam medan magnet maka pada kawat penghantar tersebut akan terbentuk suatu gaya". Gaya yang terbentuk sering dinamakan Gaya Lorentz. Untuk menentukan arah gaya dapat digunakan kaidah tangan kiri dan besarnya adalah :

$$F = I (L \times B) \quad \text{Newton} \quad (2.15)$$

$$= I \cdot L \cdot B \sin \theta \quad \text{Newton} \quad (2.16)$$



Gambar 2.22 Prinsip kerja motor dc

Persamaan dari motor dc adalah sebagai berikut :



Gambar 2.23 Persamaan motor dc

$$V_a = I_a R_a + E_a \quad (2.17)$$

$$E_a = N \cdot \phi \cdot C \quad (2.18)$$

Dimana : I_a = arus jangkar

R_a = tahanan jangkar

⁷ _____, *Teknologi Motor dan Generator* (_____, 1988), p.85

E_a = GGL lawan jangkar

N = kecepatan putar (rps)

C = konstanta

ϕ = fluks

Besarnya daya mekanik adalah :

$$P_m = V \cdot I_a - I_a^2 \cdot R_a \quad (2.19)$$

Untuk kondisi daya mekanik maksimum ialah :

$$\frac{P_m}{dI_a} = 0, \quad (2.20)$$

$$\text{maka } E_a = I_a \cdot R_a = \frac{V}{2} \quad (2.21)$$

Dari persamaan tegangan motor maka didapat kecepatan motor dc adalah :

$$N = \frac{V - I_a \cdot R_a}{\phi \cdot C} \text{ rps} \quad (2.22)$$

Torsi yang dihasilkan oleh motor dc sebanding dengan kuat medan dan arus jangkar.

$$T = K \cdot \phi \cdot I_a \text{ Nm} \quad (2.23)$$

Dimana : T = torsi

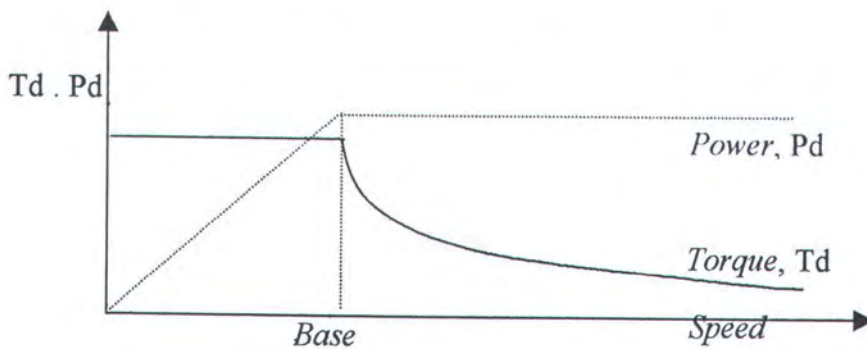
K = konstanta perancangan

2.6.1. Pengatur Kecepatan dan Karakteristik Daya Motor DC

Kecepatan putaran motor DC secara umum dapat diatur dengan mengubah besarnya tegangan jangkar, arus medan, dan torsi. Perkalian antara kecepatan dan torsi menghasilkan daya motor.

Selama motor belum mencapai maksimum, maka kecepatan dapat dinaikkan dengan asumsi torsi konstan. Saat daya mencapai maksimum, yaitu pada saat kecepatan mencapai "*base speed*", maka hasil kali kecepatan dan torsi adalah konstan, akibatnya jika kecepatan ditambah maka torsi akan menurun. Karena itu besarnya kecepatan maksimum motor dc tergantung pada daya motor dan torsi.

Karakteristik daya motor ditunjukkan gambar berikut :



Gambar 2.24 Karakteristik daya motor dc

Untuk mengontrol tegangan yang diberikan ke motor dc digunakan metode PWM (*pulse width modulation*). Ada dua metode untuk mengendalikan kecepatan putaran motor, yaitu :

- Mengoperasikan motor pada frekuensi yang tetap, yang diubah adalah besarnya periode waktu *on* (*pulse width modulation*).
- Mengoperasikan motor pada frekuensi yang berubah, periode waktu *on* dibuat konstan, sedangkan frekuensi dibuat bervariasi (*Frequency Modulation*).

Untuk mengendalikan arah dan kecepatan putaran motor menggunakan PWM, berdasarkan sinyal kontrol yang digunakan dibedakan menjadi dua macam⁸ :

- *Simple, locked anti-phase PWM*, cara ini menggunakan sebuah sinyal kontrol PWM yang memberikan informasi arah sekaligus besarnya kecepatan. *Duty-cycle* sinyal PWM 50% menunjukkan arah dan kecepatan nol.
- *Sign/magnitude PWM*, terdiri atas dua buah sinyal terpisah yaitu sinyal arah putaran dan sinyal besarnya kecepatan motor.

2.7 Sensor

Sensor berfungsi untuk mengukur parameter yang diperlukan pada sistem kontrol. Dalam tugas akhir ini parameter yang diukur adalah posisi benda yang akan diatur. Untuk mendeteksi posisi ini digunakan resistor variabel (VR). Perubahan posisi benda mengakibatkan perubahan resistansi VR yang selanjutnya dikonversikan menjadi perubahan tegangan DC.

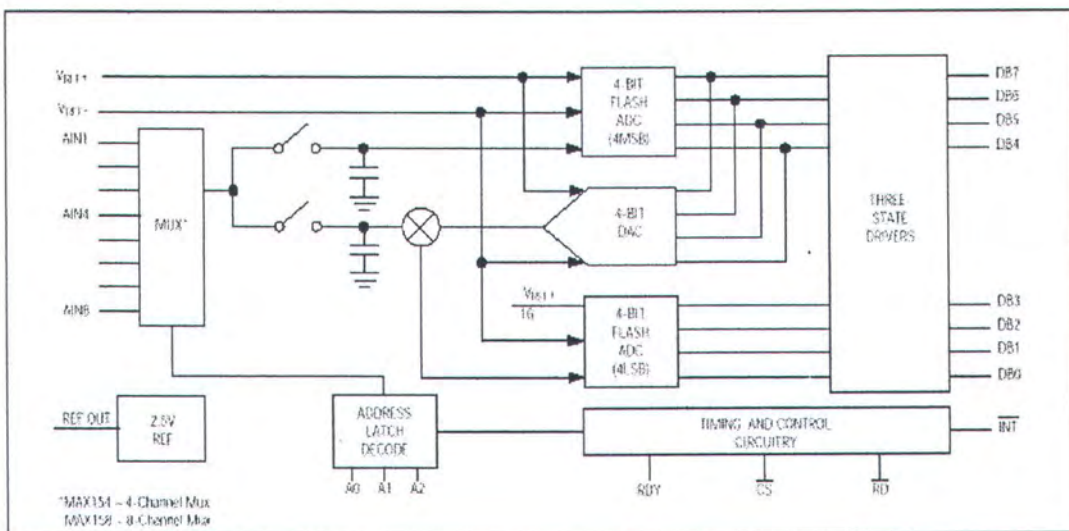
2.8 Analog to Digital Converter

ADC yang digunakan adalah MAX 154 yang merupakan *analog-to-digital converter* (ADC) multi kanal kecepatan tinggi. MAX 154 mempunyai empat kanal *input* analog. Waktu konversi yang diperlukannya adalah 2.5 μ s. MAX 154 juga memiliki tegangan referensi 2.5 volt internal, sehingga membentuk sistem akuisisi data kecepatan tinggi yang lengkap. ADC ini di dalamnya sudah ada *track/hold*, mengurangi keperluan penggunaan eksternal *track/hold*. Variasi *input*

⁸ _____, *National Power IC Databook* (Crawfordsville : National Semiconductor, 1995), p.4-47

berkisar antara 0V sampai dengan +5V, meskipun beroperasi pada tegangan suplai tunggal +5V.

MAX 154 menggunakan teknik konversi "*half-flash*" (gambar 2.14). Dua buah konverter *flash* ADC 4-bit digunakan untuk menghasilkan keluaran 8 bit. Menggunakan 15 komparator, *flash* ADC 4-bit MS (*most significant*) membandingkan tegangan *input* yang tidak diketahui dengan *ladder* referensi dan menyediakan 4 data bit *upper*. DAC internal menggunakan MS bit untuk membangkitkan sinyal analog dari *flash* konversi pertama. Tegangan sisa menunjukkan perbedaan antara tegangan input yang tidak dikenal dengan tegangan DAC yang kemudian dibandingkan dengan *ladder* referensi oleh 15 *flash* komparator LS (*least significant*) untuk menghasilkan 4 data bit *lower*.



Gambar 2.25 Diagram fungsi IC MAX 154

BAB III

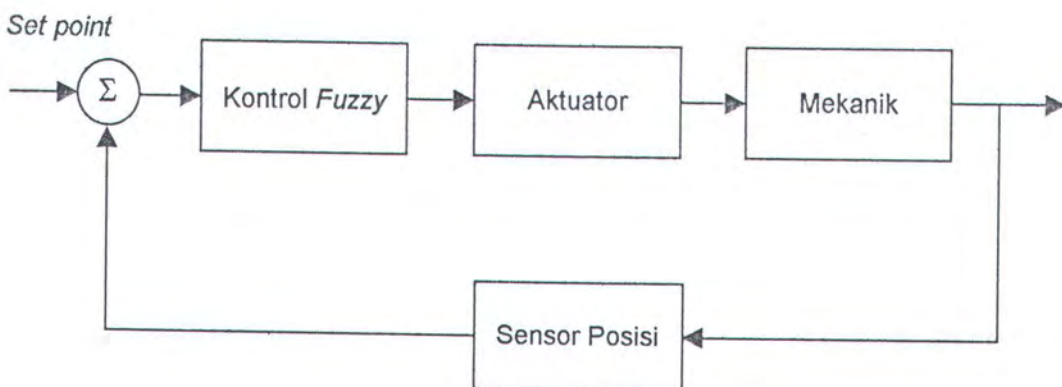
PERANCANGAN ALAT

Pada bab ini akan dibahas perancangan sistem secara keseluruhan yang meliputi perancangan mekanik, perancangan perangkat keras, dan perancangan perangkat lunak. Langkah-langkah yang dilakukan adalah :

- merancang diagram blok sistem secara keseluruhan dan cara kerja sistem secara umum
- merancang mekanik sesuai dengan sistem yang direncanakan
- merancang rangkaian elektronik yang dibutuhkan pada setiap blok sistem
- merancang perangkat lunak untuk menunjang kerja sistem

3.1 Perancangan System

Diagram blok kontrol gerakan tabung tomograf yang akan dibuat ditunjukkan pada gambar 3.1.



Gambar 3.1 Diagram blok kontrol gerakan tabung tomograf

Pada diagram blok di atas, sistem yang direncanakan terdiri atas empat blok, yaitu blok kontrol *fuzzy* berupa mikrokontroler AT89C51, blok aktuator berupa *driver* kecepatan dan arah gerak motor, blok mekanik, dan blok sensor posisi berupa resistor variabel. Untuk masukan *set point* digunakan tombol kontrol.

Cara kerja kontrol gerakan tabung tomograf ini adalah motor akan menggerakkan tabung tomograf ke posisi yang sesuai dengan *set point*, posisi ini merupakan posisi awal *ekspose* yang akan dilakukan yang terletak pada sebelah kanan posisi normal/tegak dengan besar sudut tertentu yang dibentuk lengan penyangga dengan garis vertikal. Setelah tombol *ekspose* diaktifkan, motor akan menggerakkan tabung tomograf ke posisi yang berlawanan (ke arah kiri) dengan besar sudut yang sesuai dengan *set point*. Setelah itu motor menggerakkan tabung ke posisi normal kembali (posisi tegak).

Kecepatan motor diatur sedemikian rupa sehingga diperoleh pencapaian posisi secara cepat dan tepat. Untuk mengatur kecepatan motor ini dipergunakan kontrol *fuzzy* dengan input berupa selisih posisi yang dicapai. Apabila selisih posisi besar, maka kecepatan motor besar, bila selisih posisi kecil, kecepatan motor kecil, dan bila selisih posisi nol, maka motor berhenti berputar.

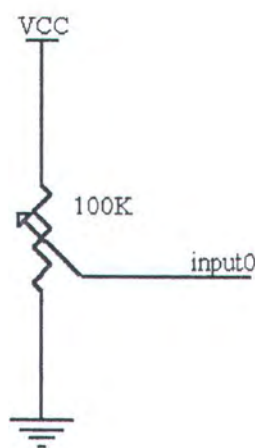
3.2 Perancangan Mekanik

Perancangan mekanik yang dilakukan adalah untuk mendukung perancangan kontrol *fuzzy*, yaitu sebagai alat simulasi. Mekanik dirancang mendekati bentuk aslinya pada peralatan tomograf, namun hanya sebagian saja,

yaitu bagian penggerak tabung sinar-x. Mekanik yang dirancang adalah penggerak tabung dengan jenis gerakan tabung *unidirectional*.

Penggerak yang digunakan adalah motor arus searah. Motor dihubungkan dengan rantai sepanjang lintasan gerak tabung. Benda yang digerakkan dikaitkan pada rantai. Untuk memperkuat torsi motor digunakan roda gigi dengan perbandingan 3 : 47.

Sensor posisi berupa resistor variabel *multitune* yang pada kedua terminalnya diberikan tegangan listrik sebesar 5 Volt. Keluaran sensor posisi berupa perubahan tegangan sesuai dengan posisi benda.



Gambar 3.2 Sensor sudut posisi

3.3 Perancangan Perangkat Keras

3.3.1 Mikrokontroler AT89C51

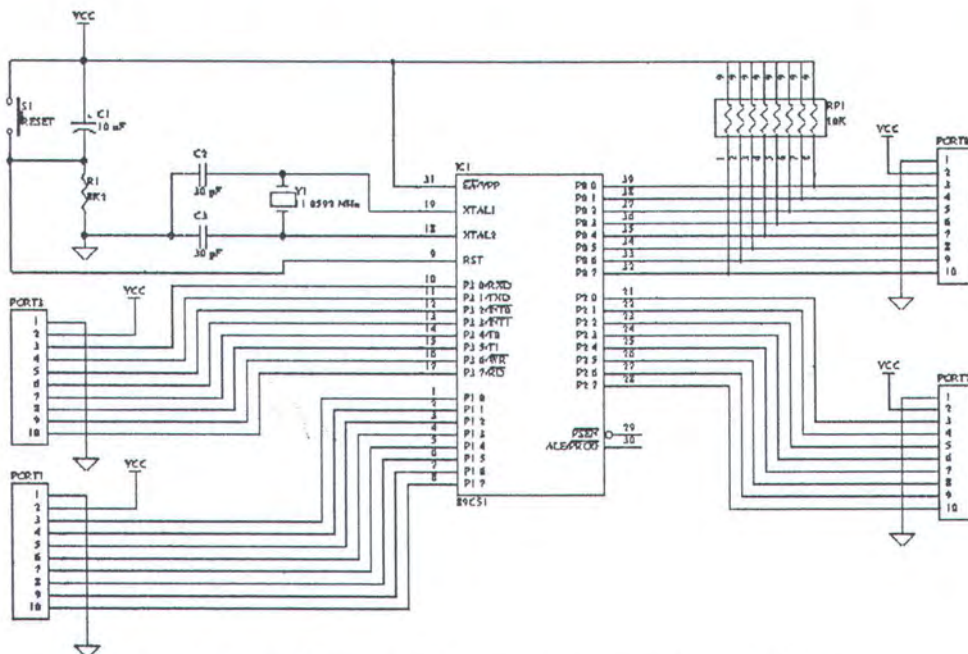
Sistem minimum dengan basis mikrokontroler AT89C51 yang dibuat dimanfaatkan sebagai kontrol *fuzzy* sekaligus pengendali sistem secara

keseluruhan. Data yang diolah keluar masuk melalui *port-port* yang ada, baik dalam bentuk data 8-bit maupun data dalam 1 bit yang berdiri sendiri.

Mikrokontroler AT89C51 sudah memiliki internal flash ROM sebesar 4 K *byte* yang bisa diisi program. Sistem minimum yang dibuat hanya memerlukan komponen tambahan berupa *clock* 11.0592 MHz dan rangkaian *autoreset*.

Port 0 digunakan untuk menyalakan LED sebagai indikator arah gerakan dan besar sudut. Untuk keperluan ini digunakan P0.0 sampai dengan P0.4. Kaki P0.5 tidak digunakan. Kaki P0.6 dan P0.7 digunakan sebagai keluaran sinyal PWM dan sinyal arah gerakan motor.

Port 1 digunakan untuk memasukkan kontrol *set point* yang diinginkan, kontrol arah gerakan yang diinginkan, dan kontrol penekanan *ekspose*. *Port* ini dihubungkan dengan bagian tombol kontrol. *Port* 2 digunakan untuk membaca data digital hasil konversi ADC. *Port* 3 hanya digunakan 2 kaki saja, yaitu P3.0 untuk kontrol ADC dan P3.2 sebagai masukan interupsi eksternal (sebagai INT0).



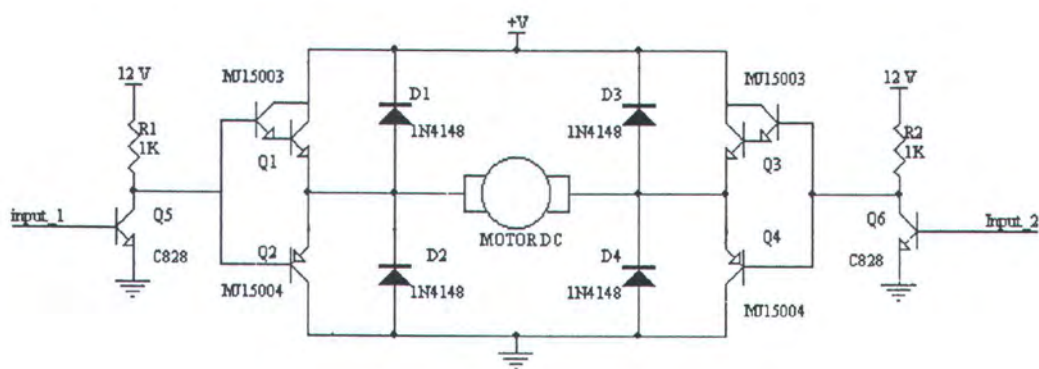
Gambar 3.3 Sistem minimum mikrokontroler AT89C51

3.3.2 Driver Kecepatan dan Arah Putaran Motor

Untuk mendapatkan pengaturan kecepatan motor dc yang arah putarannya dapat dibalik, serta hanya menggunakan sebuah tegangan sumber, rangkaian penggerak yang dipakai menggunakan empat buah transistor dengan konfigurasi jembatan-H, dimana masing-masing pasangan transistor PNP dan NPN dikonfigurasi *push-pull*. Cara kerja *driver* adalah sebagai berikut :

1. Saat Q1 dan Q4 bersama-sama saturasi (*on*), tegangan sumber tampak melintang pada terminal motor dan arus jangkar akan mengalir, maka motor akan berputar searah jarum jam (*cw*)
2. Pada saat motor masih berputar *cw*, saat Q1 dan Q4 *cut off*, bila Q3 lebih dulu saturasi dari Q2 mengakibatkan motor yang bekerja sebagai generator mengembalikan dayanya melalui Q3 dan D1. Sedangkan bila Q2 lebih dulu saturasi dari Q3 mengakibatkan motor yang bekerja sebagai generator mengembalikan dayanya melalui Q2 dan D4.
3. Saat Q2 dan Q3 bersama-sama saturasi (*on*), tegangan sumber tampak melintang pada terminal motor dan arus jangkar akan mengalir, maka motor akan berputar berlawanan arah dengan jarum jam (*ccw*)
4. Pada saat motor masih berputar *ccw*, saat Q2 dan Q3 *cut off*, bila Q1 lebih dulu saturasi dari Q4 mengakibatkan motor yang bekerja sebagai generator mengembalikan dayanya melalui Q1 dan D3. Sedangkan bila Q4 lebih dulu saturasi dari Q1 mengakibatkan motor yang bekerja sebagai generator mengembalikan dayanya melalui Q4 dan D2.

Masukan berupa sinyal PWM masuk pada *input1*, dan sinyal *high* atau *low* untuk menentukan arah putaran motor masuk pada *input2*. Sinyal ini dihasilkan oleh mikrokontroler dan dikeluarkan melalui *port 0* pada kaki P0.6 dan P0.7. Sinyal PWM yang dikeluarkan sesuai dengan masukan data yang berasal dari keluaran dari hasil pengolahan kontrol *fuzzy* .



Gambar 3.4 Driver motor konfigurasi jembatan H

3.3.3 Analog to Digital Converter MAX154

Rangkaian ini digunakan sebagai pengubah sinyal masukan analog dari sensor posisi menjadi data digital 8-bit. Selanjutnya data tersebut dikirim ke mikrokontroler dan disimpan dulu di *register* sebelum diolah. Pada tugas akhir ini hanya diperlukan pengubahan satu sinyal analog saja, sehingga hanya menggunakan satu kanal dari 4 kanal yang tersedia, yaitu kanal 1 (AIN1).

Pada ADC ini, VREF- diberi tegangan 0 Volt dan VREF+ diberi tegangan 5 Volt yang merupakan tegangan pada terminal sensor posisi. Masukan dari sensor posisi berkisar antara VREF- dan VREF+. Jadi kisaran data digital yang dihasilkan ADC dari 0000000 sampai dengan 11111111.

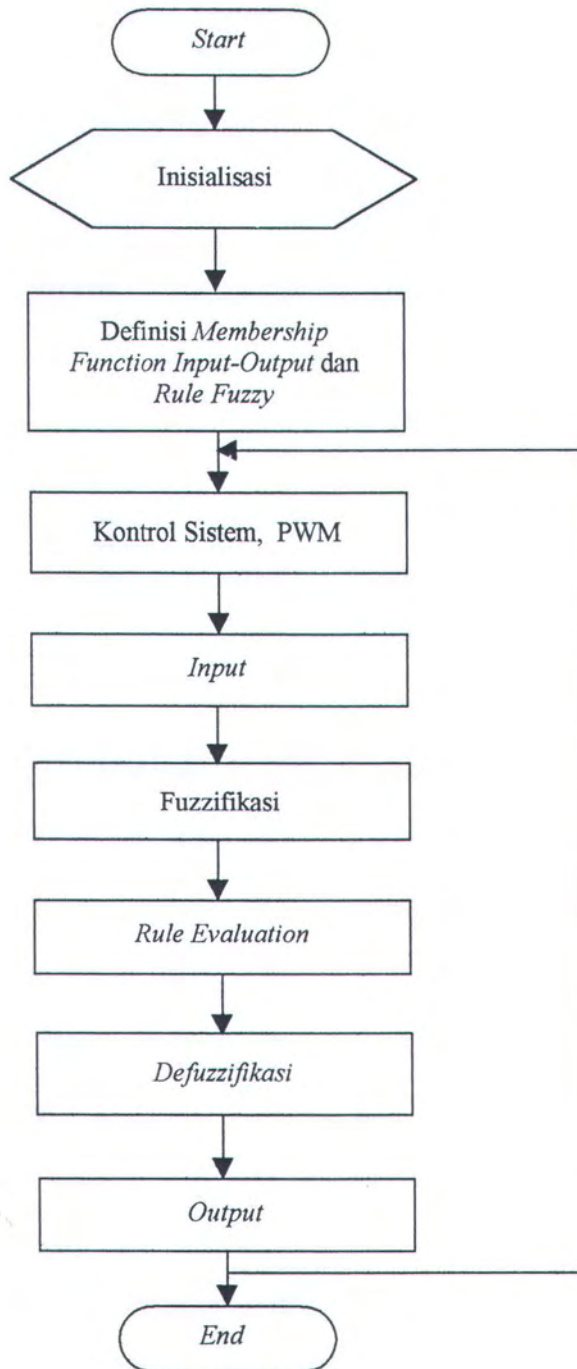
Kaki alamat A0 dan A1 langsung diisi logika 0 dengan menghubungkan ke *ground* secara langsung. Kaki CS (*Chip Select*) yang aktif low juga di-*ground*-kan, sehingga ADC bekerja terus. Dan untuk pengambilan data dikontrol oleh mikrokontroler melalui *port* 3 (P3.0) untuk mengontrol kaki RD (*Read*) pada ADC. Data diambil oleh mikrokontroler melalui *port* 2.

3.3.4 Tombol Kontrol

Tombol kontrol digunakan untuk mengatur kerja tomograf terdiri atas enam buah saklar *push-on*. Tombol ini digunakan untuk mengatur pergeseran tabung menuju posisi awal *ekspose* baik ke kanan (S6) maupun ke kiri (S4), untuk mengembalikan posisi tabung tomogaf ke tengah (S5), untuk menentukan besar sudut *ekspose* (S2 dan S3), dan sebuah tombol untuk mewakili tombol *ekspose* (S1).

Tombol-tombol ini terhubung ke *port* 1. Selama tidak ada penekanan, kaki-kaki *port* 1 berlogika 1. Bila tombol ditekan, kaki *port* 1 yang terhubung ke tombol tersebut berlogika 0. Selain terhubung ke *port* 1 tombol kontrol tersebut menjadi masukan IC TTL NAND 8 masukan, 74LS30. Keluaran 74LS30 ini di-*invert*-kan, sehingga fungsi gabungan yang terbentuk adalah fungsi AND 8 masukan. Selama tidak ada penekanan, sinyal high dihasilkan. Bila ada penekanan tombol, maka akan menghasilkan sinyal *low* yang selanjutnya mengaktifkan *interrupt* 0 mikrokontroler. Jadi terjadi interupsi bila ada penekanan tombol.

Program mikrokontroler yang dibuat memiliki beberapa bagian atau fungsi seperti digambarkan pada *flowchart* di bawah ini.



Gambar 3.6 *Flowchart* program mikrokontroler

Sinyal kontrol yang dihasilkan berupa sinyal satu bit sebagai penunjuk arah putaran motor dan sebuah sinyal dalam bentuk PWM. Keluaran sinyal kontrol dikeluarkan melalui kaki P0.6 dan P0.7. Untuk menghasilkan sinyal kontrol ini berdasarkan sebuah keluaran dari kontrol *fuzzy* berupa data 8-bit. Apabila data yang akan dikonversi kurang dari 80H, maka keluaran P0.7 *high*. Dan apabila data yang akan dikonversi lebih dari atau sama dengan 80H, maka P0.7 *low*. Sinyal keluaran pada P0.7 ini digunakan sebagai penentu arah putaran motor. Sedangkan sinyal PWM dikeluarkan melalui P0.6.

3.4.1 Mikrokontroler AT89C51 sebagai Kontroler *Fuzzy*

00								07	00H-03H : variabel inferensi fuzzy
H								H	04H-05H : kosong
08								0F	06H-07H : untuk perhitungan DError
H								H	08H-09H : data panjang siklus program
10	Fuzzy Outs 0							17	0AH : masukan PWM
H	Fuzzy Outs 1							H	0BH : perhitungan normalisasi output
18	Fuzzy Ins 0							1F	0CH : posisi saat ini, pembacaan dari P2
H	Fuzzy Ins 1							H	0DH : latch penekanan tombol kontrol
20	Fuzzy Ins 2							27	0EH : data penekanan tombol
H	Fuzzy Ins 3							H	0FH : data set point
28								2F	10H : COGDEX
H								H	11H : LP_COUNT
30								37	12H : SUMDEX
H	Stack Pointer (SP)							H	13H : kosong
38								3F	14H : perhitungan defuzifikasi
									15H-17H : SUM_OF_PROD
									18H-1BH : CURRENT_INS
									1CH-1DH : COG_OUTS
									1EH-1FH : SUM_OF_FUZ
									20H-2FH : FUZ_OUTS
									30H-4FH : FUZ_INS
									50H-6FH : kosong

Gambar 3.7 Penggunaan RAM pada AT89C51

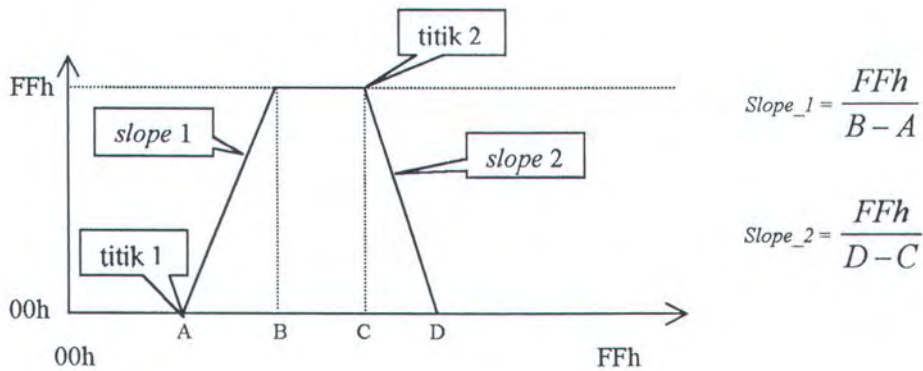
Program kontrol *fuzzy* yang dibuat memiliki maksimum empat variabel *input membership function* dan dua variabel *output membership function*. Masukan dan keluaran kontroler masuk dan keluar melalui *port 2*, dalam bentuk data digital 8-bit. Sebelum diproses, data *input-output* ini disimpan di *register* pada alamat 18H sampai dengan 1DH. *Port 0* difungsikan sebagai keluaran indikator arah dan besar sudut gerakan dan juga sebagai keluaran sinyal PWM. Pada bagian *fuzzy*, setiap variabel masukan dan keluaran memiliki maksimum 8 *membership function*.

3.4.2 Bentuk Penulisan Membership Function dan Rule Base

Program kontrol *fuzzy* yang dibuat ini, *membership function* didefinisikan dan ditulis pada bagian ROM, demikian pula aturan *fuzzy* yang dibuat. Untuk definisi *input membership function*, jumlahnya sudah pasti, yaitu empat *input* dan dua *output*. Definisi aturan *fuzzy* tidak dibatasi jumlahnya selama memori mikrokontroler masih cukup.

Setiap label pada setiap *membership function* ditulis dalam bentuk empat buah konstanta, yang terdiri atas titik 1, *slope_1*, titik 2, *slope_2*, yang membentuk fungsi trapezoidal, sehingga struktur datanya 8*4 *byte* untuk setiap *input*. Agar lebih jelas, dapat dilihat pada gambar 3.8.

Sebagai keadaan khusus, *slope* = 0, mengartikan garis tegak lurus, *slope_2* diasumsikan sebagai *slope* negatif. Sementara untuk alokasi memori *input* yang tidak digunakan diisi dengan FFh hingga setiap *input* memiliki struktur data 8*4 *byte*. *Membership function* untuk *input* didefinisikan mulai pada alamat 50h sampai dengan C0h.



Gambar 3.8 Bentuk penulisan *input membership function*

Output membership function didefinisikan mulai pada alamat D0h sampai dengan DFh. Bentuk *output membership function* ini berupa fungsi *singleton*, dan hanya membutuhkan satu konstanta untuk mendefinisikan setiap label. Jadi untuk setiap *output*-nya hanya memerlukan 8 *byte* konstanta. Untuk alokasi memori *output* yang tidak digunakan diisi dengan FFh hingga setiap *output* ada 8 *byte* data.

Rule fuzzy ditulis mulai pada alamat E0h sampai jumlah *rule* yang ada selama memori mikrokontroler masih cukup. Bentuk penulisannya pada bagian IF (anteseden/kondisi) ditulis dalam bentuk biner 000X XAAA dimana XX menunjukkan *input* (0 - 3) dan AAA menunjukkan label (0 - 7) dari *input* XX. Setiap aturan bisa memiliki beberapa anteseden/kondisi (biasanya 2 sampai dengan 4). Bagian IF dihubungkan dengan operator AND. Bagian THEN (konsekuen/konklusi) ditulis dalam bentuk biner 1000 YCCC dimana MSB di-*set* menunjukkan bagian konsekuen/konklusi, Y menunjukkan *output* (0 - 1) dan CCC menunjukkan label (0 - 7) dari *output* Y. Penulisan *rule* diakhiri dengan byte FFh.

Pada tugas Akhir ini *membership function* dan *rule fuzzy* didefinisikan seperti pada program *assembly* di bawah dengan aturan seperti diuraikan di atas.


```

INPUT_MFS                                ; Input membership functions
INOMF                                    ; (0) Error
DB 000H,0FFH,060H,00BH ; (0) Neg_Jauh
DB 060H,00BH,078H,020H ; (1) Neg_Dekat
DB 078H,020H,081H,020H ; (2) Nol
DB 081H,020H,089H,00BH ; (3) Pos_Dekat
DB 089H,00BH,0FFH,0FFH ; (4) Pos_Jauh
DB 0FFH,0FFH,0FFH,0FFH ; (5) Unused
DB 0FFH,0FFH,0FFH,0FFH ; (6) Unused
DB 0FFH,0FFH,0FFH,0FFH ; (7) Unused
IN1MF ; (1) DError
DB 000H,0FFH,079H,02AH ; (0) Neg
DB 079H,02AH,080H,02AH ; (1) Nol
DB 080H,02AH,0FFH,0FFH ; (2) Pos
DB 0FFH,0FFH,0FFH,0FFH ; (3) Unused
DB 0FFH,0FFH,0FFH,0FFH ; (4) Unused
DB 0FFH,0FFH,0FFH,0FFH ; (5) Unused
DB 0FFH,0FFH,0FFH,0FFH ; (6) Unused
DB 0FFH,0FFH,0FFH,0FFH ; (7) Unused
IN2MF ; (2) INPUT2
DB 0FFH,0FFH,0FFH,0FFH ; (0) Unused
DB 0FFH,0FFH,0FFH,0FFH ; (1) Unused
DB 0FFH,0FFH,0FFH,0FFH ; (2) Unused
DB 0FFH,0FFH,0FFH,0FFH ; (3) Unused
DB 0FFH,0FFH,0FFH,0FFH ; (4) Unused
DB 0FFH,0FFH,0FFH,0FFH ; (5) Unused
DB 0FFH,0FFH,0FFH,0FFH ; (6) Unused
DB 0FFH,0FFH,0FFH,0FFH ; (7) Unused
IN3MF ; (3) INPUT3
DB 0FFH,0FFH,0FFH,0FFH ; (0) Unused
DB 0FFH,0FFH,0FFH,0FFH ; (1) Unused
DB 0FFH,0FFH,0FFH,0FFH ; (2) Unused
DB 0FFH,0FFH,0FFH,0FFH ; (3) Unused
DB 0FFH,0FFH,0FFH,0FFH ; (4) Unused
DB 0FFH,0FFH,0FFH,0FFH ; (5) Unused
DB 0FFH,0FFH,0FFH,0FFH ; (6) Unused
DB 0FFH,0FFH,0FFH,0FFH ; (7) Unused

SGLTN_POS                                ; Output singleton positions
OUTOMF ; (0) Daya
DB 000H ; (0) Neg_Besar
DB 040H ; (1) Neg_Kecil
DB 080H ; (2) Nol
DB 0CFH ; (3) Pos_Kecil
DB 0FFH ; (4) Pos_Besar
DB 0FFH ; (5) Unused
DB 0FFH ; (6) Unused
DB 0FFH ; (7) Unused
OUT1MF ; (1) Unused
DB 0FFH ; (0) Unused
DB 0FFH ; (1) Unused
DB 0FFH ; (2) Unused
DB 0FFH ; (3) Unused
DB 0FFH ; (4) Unused
DB 0FFH ; (5) Unused

```

```

        DB      0FFH      ;      (6) Unused
        DB      0FFH      ;      (7) Unused

RULE_START      ; Start of first rule

        DB      000H      ; IF Error IS Neg_Jauh
        DB      008H      ; AND DError IS Neg
        DB      084H      ; THEN Kecepatan IS Pos_Cepat

        DB      001H      ; IF Error IS Neg_Dekat
        DB      008H      ; AND DError IS Neg
        DB      084H      ; THEN Kecepatan IS Pos_Cepat

        DB      002H      ; IF Error IS Nol
        DB      008H      ; AND DError IS Neg
        DB      083H      ; THEN Kecepatan IS Pos_Lambat

        DB      003H      ; IF Error IS Pos_Dekat
        DB      008H      ; AND DError IS Neg
        DB      082H      ; THEN Kecepatan IS Nol

        DB      004H      ; IF Error IS Pos_Jauh
        DB      008H      ; AND DError IS Neg
        DB      081H      ; THEN Kecepatan IS Neg_Lambat

        DB      000H      ; IF Error IS Neg_Jauh
        DB      009H      ; AND DError IS Nol
        DB      084H      ; THEN Kecepatan IS Pos_Cepat

        DB      001H      ; IF Error IS Neg_Dekat
        DB      009H      ; AND DError IS Nol
        DB      083H      ; THEN Kecepatan IS Pos_Lambat

        DB      002H      ; IF Error IS Nol
        DB      009H      ; AND DError IS Nol
        DB      082H      ; THEN Kecepatan IS Nol

        DB      003H      ; IF Error IS Pos_Dekat
        DB      009H      ; AND DError IS Nol
        DB      081H      ; THEN Kecepatan IS Neg_Lambat

        DB      004H      ; IF Error IS Pos_Jauh
        DB      009H      ; AND DError IS Nol
        DB      080H      ; THEN Kecepatan IS Neg_Cepat

        DB      000H      ; IF Error IS Neg_Jauh
        DB      00AH      ; AND DError IS Pos
        DB      083H      ; THEN Kecepatan IS Pos_Lambat

        DB      001H      ; IF Error IS Neg_Dekat
        DB      00AH      ; AND DError IS Pos
        DB      082H      ; THEN Kecepatan IS Nol

        DB      002H      ; IF Error IS Nol
        DB      00AH      ; AND DError IS Pos
        DB      081H      ; THEN Kecepatan IS Neg_Lambat

        DB      003H      ; IF Error IS Pos_Dekat
        DB      00AH      ; AND DError IS Pos

```

```

DB      080H                ; THEN Kecepatan IS Neg_Cepat
DB      004H                ; IF Error IS Pos_Jauh
DB      00AH                ; AND DError IS Pos
DB      080H                ; THEN Kecepatan IS Neg_Cepat

```

3.4.3 Fuzzifikasi

Dari empat masukan yang masuk dan tersimpan di *register*, diproses sesuai dengan *input membership function* yang ada sehingga menghasilkan bilangan *fuzzy*. Pada setiap variabel masukan terdiri atas delapan *byte* data berupa nilai derajat keanggotaan untuk masing-masing label dalam variabel masukan tersebut. Sehingga menghasilkan data 4×8 *byte* yang disimpan pada RAM pada alamat 30h – 4Fh.

Nilai 0 menunjukkan derajat keanggotaan nol, dan nilai FFh menunjukkan derajat keanggotaan 1 (penuh). Sebagai contoh nilai 50h menunjukkan derajat keanggotaan $50h/FFh = 0,3125$.

3.4.4 Rule Evaluation

Setelah proses fuzzifikasi selesai, maka hasilnya diproses sesuai dengan *rule* yang ada, sehingga menghasilkan keluaran. Keluaran dalam bentuk *fuzzy* berupa nilai-nilai derajat keanggotaan dari tiap-tiap label pada keluaran. Data ini berupa data 8 *byte* untuk masing-masing keluaran dan disimpan dalam RAM pada alamat 20h sampai dengan 2Fh.

3.4.5 Defuzzifikasi

Hasil pada output dalam bentuk *fuzzy* selanjutnya diubah menjadi bentuk *crisp* lagi. Metode yang digunakan adalah *Center of Gravity for Singleton (COGS)* dengan rumus

$$\text{COGS} = \frac{\sum_{i=1}^n F_i * S_i}{\sum_{i=1}^n F_i}$$

dimana : F = nilai derajat keanggotaan keluaran *fuzzy*

n = jumlah *singleton* pada keluaran

S = nilai *singleton*.

Hasil dari defuzzifikasi ini merupakan keluaran kontrol *fuzzy* dan disimpan pada *register* mikrokontroler mulai pada alamat 1Ch.

3.4.6 Pembangkit PWM

Keluaran *fuzzy* pada tugas akhir ini digunakan untuk mengatur kecepatan dan arah putaran motor DC dengan cara PWM. Untuk mengoptimalkan penggunaan mikrokontroler, maka pembangkit PWM ini menggunakan pemrograman perangkat lunak mikrokontroler.

Pembangkitan ini memanfaatkan *timer* 0 pada mode 3 dengan kontrol internal. *Timer* 0 dalam mode 3 menetapkan TL0 dan TH0 sebagai dua *counter* terpisah. TL0 menggunakan kontrol bit *timer* 0 yaitu C/T, GATE, TR0, INT0, dan TF0. TH0 ditetapkan sebagai fungsi *timer*. Mode 3 sangat bermanfaat untuk aplikasi yang membutuhkan *timer/counter* ekstra 8-bit. Dengan *timer* 0 dalam mode 3, mikrokontroler seperti memiliki 3 *timer/counter*. Saat *timer* 0 dalam

mode 3, *timer* 1 dapat dihidupkan atau dimatikan, atau dapat digunakan oleh *port* serial sebagai pembangkit *baud rate*.¹¹

TH0 dimanfaatkan sebagai *counter* 256, sementara TL0 difungsikan sebagai *counter* untuk keadaan *high* sesuai dengan data yang akan diubah menjadi PWM. Program untuk pembangkit PWM dibuat seperti tertera pada program di bawah ini.

```

ORG      0BH
MOV      TL0,#00H
SETB     P1.0           ;Output HIGH
RETI

ORG      1BH
CLR      TF0
MOV      TL0,P2
CLR      P1.0           ;Output LOW
RETI

...
...
...

pwm:     CLR      P1.0
MOV      IE,#8AH
MOV      IP,#08H
MOV      TMOD,#03H
MOV      TH0,#00H       ;Counter 255
MOV      TL0,#00H       ;Counter untuk keadaan HIGH
SETB     TR1
SETB     TR0

```

¹¹ Malik, Moh. Ibnu, dan Anistardi, *Bereksperimen dengan Mikrokontroler 8031* (Jakarta : P.T. Gramedia, 1997), p.23

BAB IV

PENGUJIAN DAN PENGUKURAN

Sistem kontrol gerakan tabung sinar-x pada tomograf yang dibuat terdiri atas beberapa blok sistem. Setiap blok merupakan suatu rangkaian dengan fungsi yang telah ditentukan. Pada bab ini dipaparkan mengenai hasil pengujian dan pengukuran yang telah dilakukan pada sistem, baik secara terpisah pada setiap blok maupun sebagai satu kesatuan sistem.

Untuk pengujian sistem pada setiap bloknnya, maka dilakukan pemberian masukan secara manual ataupun secara simulasi. Kemudian dari keluaran yang diperoleh dapat diketahui apakah blok-blok sistem tersebut telah berfungsi sesuai dengan yang direncanakan atau belum. Apabila blok-blok tersebut telah berfungsi sesuai dengan yang diinginkan, selanjutnya blok-bok tersebut digabungkan menjadi satu sistem sesuai dengan yang direncanakan. Selanjutnya dilakukan pengujian terhadap sistem keseluruhan untuk mengetahui apakah sistem telah berjalan sesuai dengan yang direncanakan.

4.1 Pengujian Sensor Posisi

Pengukuran keluaran dari resistor variabel dilakukan dengan menggeser posisi benda dari ujung kiri sampai dengan ujung kanan. Pengukuran tegangan dilakukan pada setiap posisi sudut 15 derajat pada lintasan sepanjang 1 meter (60 derajat). Dari pengujian tersebut, sensor posisi telah dapat bekerja dan didapatkan hasil seperti pada tabel 4.1. dengan Vcc terukur 4,88 Volt.

Tabel 4.1 Data pengujian sensor posisi

Posisi (cm)	Tegangan (Volt)
-30	0,80
-15	1,60
0	2,44
15	3,28
30	4,08

4.2 Pengujian ADC

ADC diberi tegangan referensi 0 Volt untuk V_{ref-} dan tegangan ujung sensor posisi 4,88 Volt untuk V_{ref+} . Masukan berupa tegangan yang dihasilkan oleh sensor posisi. Pengujian dilakukan dengan memberikan masukan dari sensor posisi pada setiap pergeseran posisi 15 derajat. Dari pengujian ini diperoleh hasil seperti pada tabel 4.2.

Tabel 4.2 Data pengujian ADC

Posisi (derajat)	Keluaran ADC
-60	00101010
-30	01010100
0	10000000
30	10101100
60	11010110

4.3 Pengujian Perangkat Lunak

Pengujian perangkat lunak yang dilakukan adalah pengujian unjuk kerja proses *fuzzy*. Pengujian dilakukan menggunakan program simulasi untuk mikrokontroler keluarga MCS-51, yaitu program AVSIM51. Untuk pengujian ini dibuat *membership function* dan aturan sederhana seperti di bawah ini :

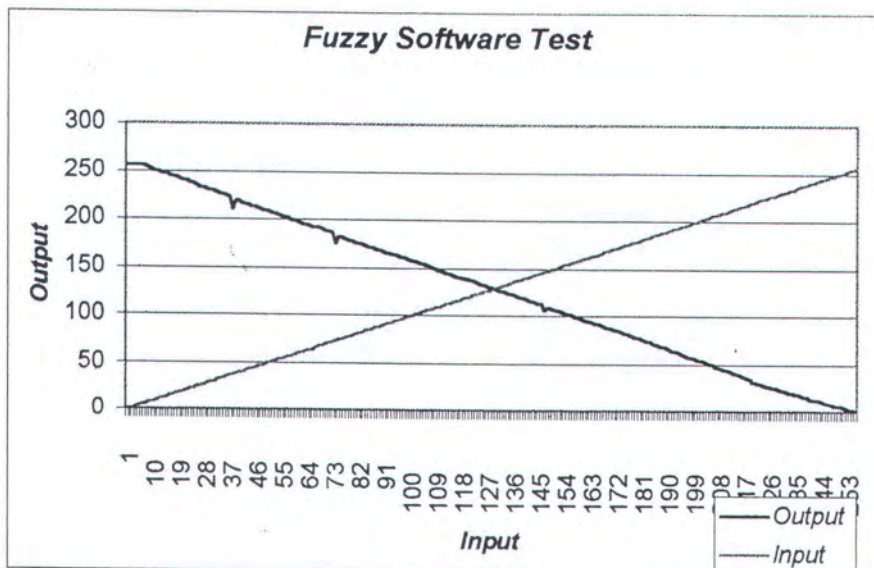
```

INOMF                                ; (0) INPUT0
DB      000H,000H,000H,007H        ; (0) I1
DB      000H,007H,024H,007H        ; (1) I2
DB      024H,007H,048H,007H        ; (2) I3
DB      048H,007H,06DH,007H        ; (3) I4
DB      06DH,007H,091H,007H        ; (4) I5
DB      091H,007H,0B6H,007H        ; (5) I6
DB      0B6H,007H,0DAH,007H        ; (6) I7
DB      0DAH,007H,0FFH,000H        ; (7) I8
OUTOMF                                ; (0) OUTPUT0
DB      000H                        ; (0) O1
DB      020H                        ; (1) O2
DB      048H                        ; (2) O3
DB      06CH                        ; (3) O4
DB      090H                        ; (4) O5
DB      0B4H                        ; (5) O6
DB      0D8H                        ; (6) O7
DB      0FFH                        ; (7) O8
RULE_START                            ;Aturan Fuzzy

RULE_0      DB      08H,8AH        ; IF input=I0 THEN Output=O7
RULE_1      DB      09H,8BH        ; IF input=I1 THEN Output=O6
RULE_2      DB      0AH,8CH        ; IF input=I2 THEN Output=O5
RULE_3      DB      0BH,8BH        ; IF input=I3 THEN Output=O4
RULE_4      DB      0CH,8AH        ; IF input=I4 THEN Output=O3
RULE_5      DB      0DH,89H        ; IF input=I5 THEN Output=O2
RULE_6      DB      0EH,88H        ; IF input=I6 THEN Output=O1
RULE_7      DB      0FH,89H        ; IF input=I7 THEN Output=O0

```

Dari simulasi tersebut diperoleh data seperti gambar di bawah.



Gambar 4.1 Hasil pengujian program fuzzy

Pengujian program dengan program simulasi AVSIM51 menunjukkan kecepatan proses sistem secara keseluruhan, dengan dua *input fuzzy* dan satu *output fuzzy* serta 15 aturan *fuzzy*, membutuhkan waktu rata-rata 2,5 ms untuk satu kali proses lengkap. Pengujian dengan satu *input fuzzy* dan satu *output fuzzy* serta 5 aturan *fuzzy*, membutuhkan waktu 1383 μ s sampai dengan 1483 μ s. Pengujian dengan empat *input fuzzy* dan dua *output fuzzy* serta 5 aturan *fuzzy*, membutuhkan waktu 2837 μ s sampai dengan 2985 μ s.

4.4 Pengujian Perangkat keras

Pengujian ini dilakukan dengan cara memberikan masukan data digital yang mewakili posisi pada mikrokontroler. Bersamaan ini pula dilakukan pengujian tombol kontrol dan pembangkit PWM. Dari pengujian ini, perangkat keras telah bekerja sesuai yang direncanakan. *Set point* diisi dengan posisi tengah (80H = 10000000B), dan data posisi disimulasikan dengan *DIP switch*.

Tabel 4.3 Data pengujian *driver* motor

Masukan Posisi	Keluaran Tegangan (Volt)
00000000	8,32
00100000	7,38
01000000	6,42
01100000	5,47
10000000	0,00
10000000	-5,91
10100000	-6,79
11000000	-7,59
11100000	-8,47

4.5 Pengujian Sistem

Pengujian sistem secara keseluruhan dilakukan setelah pengujian pada setiap blok sistem selesai dan sesuai dengan yang direncanakan. Dari pengujian sistem ini diperoleh hasil pengukuran kesalahan posisi pada kondisi gerakan dari sudut-sudut posisi yang ada seperti tabel 4.4 di bawah. Selain itu dilakukan pengukuran lama waktu yang diperlukan untuk melakukan pergerakan tanpa beban dengan hasil seperti pada tabel 4.5 di bawah.

Tabel 4.4 Pengukuran kesalahan posisi

Pergerakan	Kesalahan Posisi (cm)
0 ⁰ ke -15 ⁰	0,4
-15 ⁰ ke 0 ⁰	0
0 ⁰ ke +15 ⁰	-0,8
+15 ⁰ ke 0 ⁰	-0,5
+15 ⁰ ke -15 ⁰	-0,5
-15 ⁰ ke +15 ⁰	2,3
0 ⁰ ke -30 ⁰	0,6
-30 ⁰ ke 0 ⁰	0,5
0 ⁰ ke +30 ⁰	1,5
+30 ⁰ ke 0 ⁰	1,2
+30 ⁰ ke -30 ⁰	1,5
-30 ⁰ ke +30 ⁰	3,5

Kesalahan yang terjadi disebabkan karena sensor posisi dan sumber tegangan yang kurang stabil, sehingga mempengaruhi data posisi sesaat yang masuk ke kontrol *fuzzy* melalui ADC. Sumber tegangan yang kurang stabil menyebabkan daya yang diberikan pada motor juga kurang stabil.

Tabel 4.5 Pengukuran waktu pergerakan tabung sinar-x

Pergerakan	Waktu (detik)
+15 ⁰ ke -15 ⁰	1,20
-15 ⁰ ke +15 ⁰	1,12
+30 ⁰ ke -30 ⁰	1,68
-30 ⁰ ke +30 ⁰	1,60

Dari tabel waktu pergerakan, dan panjang lintasan 47cm (untuk pergerakan 30^0), 90 cm (untuk pergerakan 60^0) dapat dihitung bahwa kecepatan rata-rata dari pergerakan tabung sinar-x pada alat yang dibuat adalah 0,41 m/s (untuk pergerakan 30^0) dan 0,55 m/s47cm (untuk pergerakan 60^0).

Untuk mengatur kecepatan pergerakan tabung sinar-x dilakukan dengan mengatur daya yang diberikan pada motor penggerak oleh keluaran kontrol *fuzzy* berupa sinyal PWM . Sinyal PWM ini digunakan sebagai masukan tegangan jangkar motor dc.

BAB V

PENUTUP

5.1 Kesimpulan

Dari perencanaan dan pembuatan kontrol gerakan tabung sinar-x ini dapat diambil kesimpulan bahwa :

1. Dengan memanfaatkan pemrograman mikrokontroler AT89C51 secara optimal, maka dapat dibuat sebuah kontroler *fuzzy* dengan kecepatan proses rata-rata 2,5 ms per siklus untuk empat masukan dan dua keluaran *fuzzy* serta lima *rule fuzzy*.
2. Mikrokontroler telah diprogram untuk pembangkit sinyal PWM pada pengontrolan kecepatan motor arus searah.
3. Pengontrolan dengan logika *fuzzy* memberikan kemudahan dalam hal perencanaan sistem kontrol, karena menggunakan cara seperti cara berfikir manusia.
4. Waktu *ekspose* yang terukur dalam peralatan yang telah dibuat adalah 1,68 detik untuk pergerakan tabung 60^0 dan 1,2 detik untuk pergerakan tabung 30^0 .
5. Kesalahan pengaturan posisi rata-rata 2 % terjadi karena sensor posisi yang kurang presisi dan tegangan sumber yang tidak stabil.

5.2 Saran

Untuk mengembangkan dan meningkatkan dari apa yang telah dibuat, kami menyampaikan beberapa saran :

1. Penggunaan mikrokontroler sebagai kontrol *fuzzy* perlu ditingkatkan, karena dapat mereduksi biaya dibandingkan bila menggunakan kontrol *fuzzy* jadi.
2. Perlu mengoptimalkan pembuatan perangkat lunak untuk mendapatkan hasil yang lebih baik.
3. Untuk memperoleh hasil yang memuaskan dalam merancang sistem pengaturan berbasis logika *fuzzy*, pengalaman ahli mengenai alat yang diatur sangat dibutuhkan.
4. Pengalaman pada pengaturan *plant* sangat dibutuhkan untuk mengatasi sulitnya penentuan *membership function* yang tepat.

DAFTAR PUSTAKA

1. Jamshidi Mohammad, Nader Vadiiee, dan Timothy J. Ross. 1993. *Fuzzy Logic and Control ; Software and Hardware Applications*. New Jersey : Prentice-Hall, Inc.
2. Jantzen, J. 1998. *A Robustness Study of Fuzzy Control Rules*. online paper(perf). Technical University of Denmark: Dept. of Automation, <http://www.iau.dtu.dk/~jj/pubs>.
3. Jantzen, J. 1998. *Design of Fuzzy Controllers*. online paper : 98-E-864 (design). Technical University of Denmark: Dept. of Automation, <http://www.iau.dtu.dk/~jj/pubs>.
4. Jantzen, J. 1998. *Fuzzy Supervisory Control*. online paper(proc). Technical University of Denmark: Dept. of Automation, <http://www.iau.dtu.dk/~jj/pubs>.
5. Jantzen, J. 1998. *The Self-Organising Fuzzy Controller*. online paper(soc). Technical University of Denmark: Dept. of Automation, <http://www.iau.dtu.dk/~jj/pubs>.
6. Jantzen, J. 1998. *Tuning of Fuzzy PID Controllers*. online paper(fpid). Technical University of Denmark: Dept. of Automation, <http://www.iau.dtu.dk/~jj/pubs>.
7. Jantzen, J. 1998. *Tutorial on Fuzzy Logic*. online paper(logic). Technical University of Denmark: Dept. of Automation, <http://www.iau.dtu.dk/~jj/pubs>.
8. Malik, Moh. Ibnu, dan Anistardi. 1997. *Bereksperimen dengan Mikrokontroler 8031*. Jakarta : P.T. Gramedia.
9. Ogata, Katsuhito, Edi Leksono. 1991. *Teknik Kontrol Automatik Jilid 1*. Jakarta : Erlangga.
10. Peatman, John B. 1988. *Design with Microcontrollers*. Singapore : McGraw Hill.
11. Steve Marsh, Yee Wei Huang, Jim Sibigtroth, Dave Paloian, Duberly Mazuelos, Don Weiss, Jason Spielman, John Dumas, Michael Leung, Tom Tomazin and Steve Osborn.. 1992.. *Fuzzy Logic Educational Program*.



- Program Komputer. Austin, Texas : Center for Emerging Computers Technologies, Motorola Cortex Communications, Inc.
12. Tortorici, M.. 1992. *Concept in Medical Radiographic Imaging*. Philadelphia : W.B. Saunders Co.
 13. Wang, Li-Xin . 1997. *A Course in Fuzzy System and Control*. New Jersey : Prentice-Hall, Inc.
 14. _____. 1988. *Embedded Controller Handbook*. Santa Clara : Intel.
 15. _____. 1997. *International Standard IEC 1131 - Programmable Controllers, Part 7 - Fuzzy Control Programming*. Committee Draft CD 1.0 (Rel. 19 Jan 97). Frankfurt.
 16. _____. 1995 . *National Power ICs Databook*. Crawfordsville : National Semiconductor.

LISTING PROGRAM

```

□      ORG 0000H
□
□      AJMP START
□
□
      ORG 03H          ; Penekanan tombol
      MOV A,P1
      CPL A
      MOV 0DH,A
      AJMP INTR

      ORG 0BH
      MOV TL0,#00H
      SETB P0.6        ; PWM Output HIGH
      RETI

      ORG 1BH
      CLR TFO
      MOV TL0,0AH      ; Input PWM
      CLR P0.6         ; PWM Output LOW
      RETI

;      Data structureables

      ORG 0015H        ; Beginning of RAM
SUM_OF_PROD DS 3        ; 19-bit sum of products
CURRENT_INS DS 4        ; Storage for 4 8-bit inputs
COG_OUTS DS 2          ; Defuzzified outputs
SUM_OF_FUZ DS 2        ; 11-bit sum of fuzzy outs
FUZ_OUTS DS 16         ; Storage for fuzzy outputs
FUZ_INS DS 32          ; Storage for fuzzy inputs
COGDEX EQU 10H         ; Current out # for COG loop
LP_COUNT EQU 11H       ; Index for fuz loop
SUMDEX EQU 12H         ; Index for sum loop

      ORG 0030H        ; Beginning of EEPROM

INPUT_MFS          ; Input membership functions
INOMF              ; (0) Error
      DB 000H,0FFH,060H,00BH ; (0) Neg_Jauh
      DB 060H,00BH,078H,020H ; (1) Neg_Dekat
      DB 078H,020H,081H,020H ; (2) Nol
      DB 081H,020H,089H,00BH ; (3) Pos_Dekat
      DB 089H,00BH,0FFH,0FFH ; (4) Pos_Jauh
      DB 0FFH,0FFH,0FFH,0FFH ; (5) Unused
      DB 0FFH,0FFH,0FFH,0FFH ; (6) Unused
      DB 0FFH,0FFH,0FFH,0FFH ; (7) Unused
      ; (1) DError
IN1MF
      DB 000H,0FFH,079H,02AH ; (0) Neg
      DB 079H,02AH,080H,02AH ; (1) Nol
      DB 080H,02AH,0FFH,0FFH ; (2) Pos
      DB 0FFH,0FFH,0FFH,0FFH ; (3) Unused
      DB 0FFH,0FFH,0FFH,0FFH ; (4) Unused
      DB 0FFH,0FFH,0FFH,0FFH ; (5) Unused

```

```

        DB      OFFH, OFFH, OFFH, OFFH      ;      (5) Unused
        DB      OFFH, OFFH, OFFH, OFFH      ;      (6) Unused
        DB      OFFH, OFFH, OFFH, OFFH      ;      (7) Unused
IN2MF      ; (2) INPUT2
        DB      OFFH, OFFH, OFFH, OFFH      ;      (0) Unused
        DB      OFFH, OFFH, OFFH, OFFH      ;      (1) Unused
        DB      OFFH, OFFH, OFFH, OFFH      ;      (2) Unused
        DB      OFFH, OFFH, OFFH, OFFH      ;      (3) Unused
        DB      OFFH, OFFH, OFFH, OFFH      ;      (4) Unused
        DB      OFFH, OFFH, OFFH, OFFH      ;      (5) Unused
        DB      OFFH, OFFH, OFFH, OFFH      ;      (6) Unused
        DB      OFFH, OFFH, OFFH, OFFH      ;      (7) Unused
IN3MF      ; (3) INPUT3
        DB      OFFH, OFFH, OFFH, OFFH      ;      (0) Unused
        DB      OFFH, OFFH, OFFH, OFFH      ;      (1) Unused
        DB      OFFH, OFFH, OFFH, OFFH      ;      (2) Unused
        DB      OFFH, OFFH, OFFH, OFFH      ;      (3) Unused
        DB      OFFH, OFFH, OFFH, OFFH      ;      (4) Unused
        DB      OFFH, OFFH, OFFH, OFFH      ;      (5) Unused
        DB      OFFH, OFFH, OFFH, OFFH      ;      (6) Unused
        DB      OFFH, OFFH, OFFH, OFFH      ;      (7) Unused

SGLTN_POS      ; Output singleton positions
OUT0MF      ; (0) Kecepatan
        DB      00AH      ;      (0) Neg_Cepat
        DB      044H      ;      (1) Neg_Lambat
        DB      080H      ;      (2) Nol
        DB      0C0H      ;      (3) Pos_Lambat
        DB      OFFH      ;      (4) Pos_Cepat
        DB      OFFH      ;      (5) Unused
        DB      OFFH      ;      (6) Unused
        DB      OFFH      ;      (7) Unused
OUT1MF      ; (1) Unused
        DB      OFFH      ;      (0) Unused
        DB      OFFH      ;      (1) Unused
        DB      OFFH      ;      (2) Unused
        DB      OFFH      ;      (3) Unused
        DB      OFFH      ;      (4) Unused
        DB      OFFH      ;      (5) Unused
        DB      OFFH      ;      (6) Unused
        DB      OFFH      ;      (7) Must fill 8 per output

RULE_START      ; Start of first rule
        DB      000H      ; IF Error IS Neg_Jauh
        DB      008H      ; AND DError IS Neg
        DB      084H      ; THEN Kecepatan IS Pos_Cepat

        DB      001H      ; IF Error IS Neg_Dekat
        DB      008H      ; AND DError IS Neg
        DB      084H      ; THEN Kecepatan IS Pos_Cepat

        DB      002H      ; IF Error IS Nol
        DB      008H      ; AND DError IS Neg
        DB      083H      ; THEN Kecepatan IS Pos_Lambat

        DB      003H      ; IF Error IS Pos_Dekat
        DB      008H      ; AND DError IS Neg
        DB      082H      ; THEN Kecepatan IS Nol

```

```

DB    004H          ; IF Error IS Pos_Jauh
DB    008H          ; AND DError IS Neg
DB    081H          ; THEN Kecepatan IS Neg_Lambat

DB    000H          ; IF Error IS Neg_Jauh
DB    009H          ; AND DError IS Nol
DB    084H          ; THEN Kecepatan IS Pos_Cepat

DB    001H          ; IF Error IS Neg_Dekat
DB    009H          ; AND DError IS Nol
DB    083H          ; THEN Kecepatan IS Pos_Lambat

DB    002H          ; IF Error IS Nol
DB    009H          ; AND DError IS Nol
DB    082H          ; THEN Kecepatan IS Nol

DB    003H          ; IF Error IS Pos_Dekat
DB    009H          ; AND DError IS Nol
DB    081H          ; THEN Kecepatan IS Neg_Lambat

DB    004H          ; IF Error IS Pos_Jauh
DB    009H          ; AND DError IS Nol
DB    080H          ; THEN Kecepatan IS Neg_Cepat

DB    000H          ; IF Error IS Neg_Jauh
DB    00AH          ; AND DError IS Pos
DB    083H          ; THEN Kecepatan IS Pos_Lambat

DB    001H          ; IF Error IS Neg_Dekat
DB    00AH          ; AND DError IS Pos
DB    082H          ; THEN Kecepatan IS Nol

DB    002H          ; IF Error IS Nol
DB    00AH          ; AND DError IS Pos
DB    081H          ; THEN Kecepatan IS Neg_Lambat

DB    003H          ; IF Error IS Pos_Dekat
DB    00AH          ; AND DError IS Pos
DB    080H          ; THEN Kecepatan IS Neg_Cepat

DB    004H          ; IF Error IS Pos_Jauh
DB    00AH          ; AND DError IS Pos
DB    080H          ; THEN Kecepatan IS Neg_Cepat

```

```
END_OF_RULE DB    0FFH
```

```
;      Program kontrol pergerakan motor
```

```

ORG    100H
INTR:
SD60:  MOV    A,#00001000B      ; Tekan 60  (S1)
        ANL    A,0DH
        JZ     SD30
        ORL    A,0EH
        ANL    A,#00001111B
        MOV    0EH,A
        SJMP   INTRA
SD30:  MOV    A,#00010000B      ; Tekan 30  (S2)
        ANL    A,0DH

```



```

JZ    KANAN
ORL   A,0EH
ANL   A,#00010111B
MOV   0EH,A
SJMP  INTRA
KANAN: MOV A,#00000001B      ; Tekan --> (S3)
ANL   A,0DH
JZ    TENGAH
ORL   A,0EH
ANL   A,#00011001B
MOV   0EH,A
ACALL SETPOINT
SJMP  INTRA
TENGAH: MOV A,#00000010B      ; Tekan | (S4)
ANL   A,0DH
JZ    KIRI
ORL   A,0EH
ANL   A,#00011010B
MOV   0EH,A
ACALL SETPOINT
SJMP  INTRA
KIRI:  MOV A,#00000100B      ; Tekan <-- (S5)
ANL   A,0DH
JZ    EXPOSE
ORL   A,0EH
ANL   A,#00011100B
MOV   0EH,A
ACALL SETPOINT
SJMP  INTRA
EXPOSE: MOV A,#00100000B      ; Tekan Ekspose (S0)
ANL   A,0DH
JZ    INTRA
MOV   A,0EH
ANL   A,#00000010B
JZ    EXP1
SJMP  INTRA
EXP1:  MOV A,0EH
XRL   A,#00000101B
MOV   0EH,A
ACALL SETPOINT
INTRA: MOV P0,0EH
      RETI

SETPOINT: ; Input Set Point
KR60:  CJNE A,#00001100B,KR30
      MOV  0FH,#00010110B ; Posisi -60 derajat
      SJMP SPA
KR30:  CJNE A,#00010100B,KN30
      MOV  0FH,#01001000B ; Posisi -30 derajat
      SJMP SPA
KN30:  CJNE A,#00010001B,KN60
      MOV  0FH,#10110010B ; Posisi +30 derajat
      SJMP SPA
KN60:  CJNE A,#00001001B,TG
      MOV  0FH,#11100100B ; Posisi +60 derajat
      SJMP SPA
TG:    MOV  0FH,#01111110B ; Posisi Tengah
SPA:   RET

```

```

;      Program utama, inisialisasi, pembangkit PWM, dan I/O

START: MOV  SP,#70H          ; Stack Pointer mulai alamat 70H
      CLR  P0.6
      CLR  P0.7
      MOV  IE,#8FH          ; Interrupt Enable kecuali serial
      MOV  IP,#0AH          ; Prioritas pada T0 dan T1
      SETB TCON.0
      MOV  TMOD,#03H
      MOV  TH0,#00H         ; Counter 255
      MOV  TL0,#00H
      SETB TR1
      SETB TR0

INIT:  SETB P3.0            ; /RD & /CS ADC = 1
      MOV  1CH,#80H         ; Output 80H
      MOV  0FH,#7EH         ; Posisi Tengah
      MOV  0EH,#0AH         ; Posisi Tengah & Sudut 60
      MOV  P0,0EH           ; Display kontrol
      CLR  P3.0            ; /RD & /CS ADC = 0
;      MOV  R6,#16          ; Counter untuk DError
;      MOV  19H,#80H        ; DError = 0

OUTPUT: SETB P3.0          ; /RD & /CS ADC = 1
      MOV  08H,TH1          ; *****
      MOV  09H,TL1          ; *   Counter seluruh program *
      MOV  TL1,#00H         ; *
      MOV  TH1,#00H         ; *****
      MOV  0BH,1CH          ; Normalisasi Output sbg Input PWM
      MOV  A,#80H
      CLR  P3.0            ; /RD & /CS ADC = 0 --> Read ADC
      CJNE A,0BH,NORM       ; Titik nol = 80H
      CLR  IE.3            ; Non aktifkan timer 1
      SETB P0.6
      SJMP NORM2

NORM:  SETB IE.3           ; Aktifkan timer 1
      JNC  NORM1           ; Jika > 80H berarti arah kanan
      MOV  A,0BH          ; Output > 80H
      CLR  C
      SUBB A,#80H
      MOV  B,#2
      MUL  AB
      MOV  0AH,A           ; Input PWM disimpan di 0AH
      CLR  P0.7           ; Arah geser kanan
      SJMP INPUT

NORM1: CLR  C              ; Output < 80H
      MOV  A,#2
      MOV  B,0BH
      MUL  AB
      MOV  0AH,A           ; Input PWM disimpan di 0AH
NORM2: SETB P0.7          ; Arah geser kiri

INPUT: MOV  A,0FH          ; A = Set Point
      MOV  0CH,P2          ; Hasil ADC simpan di alamat 0CH
      CJNE A,0CH,KURANG1

KURANG1: JC  LEBIH1        ; A < data ? Ya
      SUBB A,0CH          ; No
      MOV  B,#2

```

```

        DIV    AB                      ; Error = 128 - A/2
        MOV    0CH,#80H
        XCH    A,0CH
        SUBB   A,0CH
        SJMP   TERUS
LEBIH1: XCH    A,0CH                  ; A <= data
        CLR    C
        SUBB   A,0CH
        MOV    B,#2
        DIV    AB                      ; Error = 128 + A/2
        ADD    A,#80H
TERUS:
;      CJNE   R6,#16,DECNT0          ; Input1 dihitung sekali setiap 16
loop
        MOV    R7,18H                  ; R7 = Error_Lama
;DECNT0:    DEC    R6
        MOV    18H,A                  ; Isi Input0 dengan Error Posisi
;      CJNE   R6,#0,FUZZIFY          ; Apa sudah 16 loop ?
;      MOV    R6,#16                ; Isi counter input1 dengan 16
        XCH    A,R7
        CJNE   A,07H,KURANG2          ; A = Error ; 07H = R7
KURANG2: JC    LEBIH2                ; A < R7 ? Ya
        SUBB   A,R7                    ; No
        MOV    B,#2
        MUL    AB                      ; DError = 128 - 2*(Error-
Error_Lama)
        MOV    R7,#80H
        XCH    A,R7
        SUBB   A,R7
        SJMP   TERUS1
LEBIH2: XCH    A,R7                  ; A <= data
        CLR    C
        SUBB   A,R7
        MOV    B,#2
        MUL    AB                      ; DError = 128 + 2*(Error-
Error_Lama)
        ADD    A,#80H
TERUS1: MOV    19H,A                  ; Isi Input1 dengan DError
;
;      Fuzzy Inference Engine Starts Here
FUZZIFY:
        MOV    DPTR,#FUZ_INS          ; Point at fuzzy input table
        MOV    R1,DPL
;      ; Point at current input values
;      PUSH   1BH                    ; Put input values on stack
;      PUSH   1AH                    ; Digunakan hanya 1 input
        PUSH   19H
        PUSH   18H
        MOV    DPTR,#INPUT_MFS        ; Point at input MF specs
NXTIN_LP:
        POP    02H                    ; Get next current input value
        MOV    R0,02H                  ; For 8 loop passes
        MOV    R3,#08H                ; Initialize loop counter
GRAD_LOOP:
GET_GRADE:
        MOV    R0,02H
        MOV    B,#00H                  ; In case grade = 0

```



```

        MOV    A,#2
        MOVC   A,@A+DPTR
        CJNE   A,00H,LOOP1      ; Input value - pt2 -> A
        SJMP   NOT_SEG2

LOOP1:   JNC    NOT_SEG2        ; If input < pt2
        CLR    C
        XCH    A,R0
        SUBB   A,R0
        MOV    B,A
        MOV    A,#3
        MOVC   A,@A+DPTR      ; Slope 2
        JZ     VERT_SLP       ; Skip if vert slope
        MUL    AB             ; (In - pt2) * slp2 -> A:B
        XCH    A,B
        JZ     NO_FIX         ; Check for > $FF
                                ; If upper 8 = 0
        MOV    B,#00H         ; Limit grade to 0
        SJMP   HAV_GRAD       ; In limit region of seg 2

NO_FIX:  MOV    A,#0FFH        ; B - $FF
        SUBB   A,B            ; $FF - B
        MOV    B,A
        SJMP   HAV_GRAD       ; ($FF - ((In - pt2) * slp2))

NOT_SEG2: MOV    R0,02H
        CLR    A
        MOVC   A,@A+DPTR
        CJNE   A,00H,LOOP2      ; Input value - pt1
        SJMP   LOOP3           ; Input value = pt1

LOOP2:   JNC    HAV_GRAD       ; In < pt1 so grade = 0

LOOP3:   CLR    C
        XCH    A,R0
        SUBB   A,R0
        MOV    B,A            ; Input value > pt1
        MOV    A,#1
        MOVC   A,@A+DPTR
        JZ     VERT_SLP       ; Skip if vert slope
        MUL    AB             ; (In - pt1) * slp1 -> A:B
        XCH    A,B
        JZ     HAV_GRAD       ; Check for > $FF
                                ; Result OK in B

VERT_SLP: MOV    B,#0FFH        ; Limit region or vert slope

HAV_GRAD: INC     DPTR          ; Point at next MF spec
        INC     DPTR
        INC     DPTR
        INC     DPTR
        MOV     @R1,B          ; Save @ fuzzy input
        INC     R1             ; Point at next
        DJNZ    R3,GRAD_LOOP   ; For 8 labels of 1 input
        CJNE    R1,#40H,LOOP4  ; Selesai 2(#40H) fuzzy ins ;
(4=#50H) SJMP    LOOP5         ; Done with all fuzzy ins?

LOOP4:   AJMP   NXTIN_LP       ; If not, process next input

```

; Done with fuzzification, evaluate rules next

LOOP5:

MOV DPTR,#FUZ_OUTS ; Point at first fuzzy output
MOV R0,DPL
MOV A,#16 ; 16 fuzzy outputs

CLR_OUTS:

MOV @R0,#00H ; Clear a fuzzy output
INC R0 ; Point at next
DEC A ; Loop index
JNZ CLR_OUTS ; Continue till all fuzzy outs 0
MOV DPTR,#RULE_START ; Point to start of 1st rule

RULE_TOP:

MOV R2,#0FFH ; Begin processing a rule string

; A will hold grade of smallest (min) if part

IF_LOOP:

CLR A
MOVC A,@A+DPTR ; Get rule byte 000X XAAA; If X is A
RLC A
JC THEN_LOOP ; If MSB=1, exit to then loop
RRC A
INC DPTR ; Point at next rule byte
MOV R0,#30H ; Point at fuzzy inputs
ADD A,R0 ; Point to specific fuzzy input
MOV R0,A
MOV A,@R0
CJNE A,02H,LOOP6 ; Is this fuzzy input lower?
SJMP IF_LOOP ; If not don't replace lowest

LOOP6:

JNC IF_LOOP
MOV 02H,@R0 ; Replace lowest if
JNZ IF_LOOP ; Unless zero, do next rule byte

????

;A zero value fuzzy input makes rule completely not true so skip
;rest of if parts and all then parts to start of next rule

FIND_THEN:

CLR A
MOVC A,@A+DPTR ; Get next rule byte
RLC A
JC FIND_IF ; MSB set means its a then part
INC DPTR ; Point at next rule byte
SJMP FIND_THEN ; Loop till pointing at a then part

FIND_IF:

INC DPTR ; Adv rule pointer to if part
CLR A
MOVC A,@A+DPTR ; Get next rule byte
RLC A
JNC RULE_TOP ; MSB clear means its an if part
RRC A
CJNE A,#0FFH,FIND_IF ; \$FF is no more rules marker
; Continue looking for if or \$FF
SJMP DEFUZ ; When all rules done, go defuzzify

THEN_LOOP:

RRC A ; Restore rule byte

```

MOV R0,#20H           ; Point at fuzzy outputs
ANL A,#0FH           ; Save 8 times out # + label #
ADD A,R0
MOV R0,A             ; X points at fuzzy output

;   Grade of membership for rule is in A accumulator

MOV A,@R0
CJNE A,02H,LOOP7      ; Compare to fuzzy output
SJMP NOT_HIER         ; Branch if not higher

LOOP7:
JNC NOT_HIER
MOV @R0,02H          ; Grade is higher so update

NOT_HIER:
INC DPTR             ; Adv rule pointer to next byte
CLR A
MOVC A,@A+DPTR       ; Get rule byte
RLC A
JNC RULE_TOP         ; If MSB=0 its a new rule
RRC A

CHK_END:             ; Check for end of rules flag
CJNE A,#0FFH,THEN_LOOP ; If not $FF, must be a then part

;   All rules evaluated. Now defuzzify fuzzy outputs

DEFUZ:
MOV DPTR,#SGLTN_POS  ; Point at 1st output singleton
MOV 03H,DPL
MOV 04H,DPH
MOV DPTR,#FUZ_OUTS   ; Point at 1st fuzzy output
MOV R0,DPL
MOV COGDEX,#00H      ; Loop index will run from 0->1

COG_LOOP:
MOV 02H,R0
MOV SUMDEX,#08H      ; 8 fuzzy outs per COG output
                     ; Inner loop runs 8->0

MOV DPTR,#SUM_OF_FUZ ; Used for quicker clears
MOV R0,DPL
MOV @R0,#00H
INC R0
MOV @R0,#00H         ; Sum of fuzzy outputs
MOV DPTR,#SUM_OF_PROD ; Upper 8-bits of sum of products
MOV R0,DPL
MOV @R0,#00H
INC R0
MOV @R0,#00H
INC R0
MOV @R0,#00H

SUM_LOOP:
MOV R0,02H          ; Get a fuzzy output
MOV A,@R0           ; Clear upper 8-bits
MOV DPTR,#SUM_OF_FUZ ; Add to sum of fuzzy outputs
MOV R0,DPL
MOV R1,DPL
INC R1
ADD A,@R1
MOV @R1,A
RLC A
ANL A,#01H

```



```

ADD    A,@R0                ; Update RAM variable
MOV    @R0,A
MOV    R0,02H
MOV    DPL,03H
MOV    DPH,04H
CLR    A
MOVC   A,@A+DPTR            ; Get fuzzy output again
MOV    B,@R0                ; Get Output singleton position
MUL    AB                   ; Position times weight
MOV    DPTR,#SUM_OF_PROD
MOV    R0,DPL                ; Low 16-bits of sum of products
INC    R0                    ;
INC    R0                    ; Update low 16-bits
XCH    A,@R0
ADD    A,@R0
XCH    A,@R0
DEC    R0
CLR    A
RLC    A
ADD    A,B
ADD    A,@R0
MOV    @R0,A                ; Upper 8-bits of 24-bit sum
DEC    R0
CLR    A
RLC    A                    ;
ADD    A,@R0                ; Add carry from 16-bit add
MOV    @R0,A                ;
MOV    R0,02H                ;
MOV    DPL,03H                ;
MOV    DPH,04H                ; Point at next singleton pos.
INC    DPTR
MOV    03H,DPL
MOV    04H,DPH
INC    R0                    ; Point at next fuzzy output
MOV    02H,R0                ;
DJNZ   SUMDEX,SUM_LOOP      ; Inner loop index
                                ; For all labels this output
                                ; Save index for now
                                ; In case divide by zero
                                ; A=(SUM_OF_FUZ or SUM_OF_FUZ+1)
MOV    02H,R0
CLR    A
MOV    A,1EH
*                                ; Demominator for divide
ORL    A,1FH
*
JNZ    GESER
MOV    14H,#00H
AJMP   SAV_OUT

```

GESER:

```

MOV    A,1EH
JZ     BAGI
MOV    R0,#1FH
MOV    A,@R0
SWAP   A
MOV    @R0,A
MOV    A,1EH
SWAP   A
XCHD   A,@R0
MOV    1EH,A
MOV    A,1FH

```

```

; Output = 0
; Branch if denominator is 0
; Pembagian 19-bit dg 11-bit
; Jadikan 16-bit dg 8 bit

```

```

        RLC  A
        JNC  LP1
        INC  1EH
LP1:    MOV  @R0, 1EH
        MOV  1EH, #00H
        MOV  R0, #16H
        MOV  A, @R0
        SWAP A
        MOV  @R0, A
        MOV  A, 15H
        SWAP A
        XCHD A, @R0
        MOV  15H, A
        MOV  R0, #17H
        MOV  A, @R0
        SWAP A
        MOV  @R0, A
        MOV  A, 16H
        XCHD A, @R0
        MOV  16H, A
        MOV  A, @R0
        RLC  A
        JNC  LP2
        INC  16H
LP2:    MOV  @R0, 16H
        MOV  16H, 15H
        MOV  15H, #00H

BAGI:   MOV  14H, #00H          ; Proses Pembagian
        CLR  C
L0:     MOV  A, 16H
        ADD  A, 14H
        MOV  14H, A
        MOV  A, 1FH
        CPL  A
        INC  A
        MOV  B, 16H
        MUL  AB
        MOV  16H, B
        ADD  A, 17H
        JNC  L1
        INC  16H
L1:     MOV  17H, A
        MOV  A, 16H
        CJNE A, #1H, L2
        SJMP L0
L2:     JNC  L0
        MOV  A, 17H
        MOV  B, 1FH
        DIV  AB
        MOV  16H, A
        MOV  17H, B
        MOV  A, 1FH
        DIV  AB
        CJNE A, #2H, L4
        SJMP L5
L4:     JNC  L5
        INC  16H
L5:     MOV  A, 16H

```

```

      ADD  A,14H
      JC   L6
      MOV  14H,A
      SJMP SAV_OUT
L6:    MOV  14H,#FFH

```

```

SAV_OUT:
      MOV  DPTR,#COG_OUTS      ; Point to 1st defuz output
      MOV  R0,DPL
      MOV  A,COGDEX            ; Curent output number
      ADD  A,R0
      MOV  R0,A                ; Point to correct output
      MOV  @R0,14H             ; Update defuzzified output
                                   ; Curent output number
                                   ; Recover index
      MOV  R0,02H              ; Increment loop index
      INC  COGDEX              ; Selesai 1(#1) outs ; (2=#2)
      MOV  A,#1
      CJNE A,COGDEX,LOOP9      ; Done with two outs?
      SJMP AKHIR

```

```

LOOP9:
      JC   AKHIR                ; If not, continue loop
      AJMP COG_LOOP

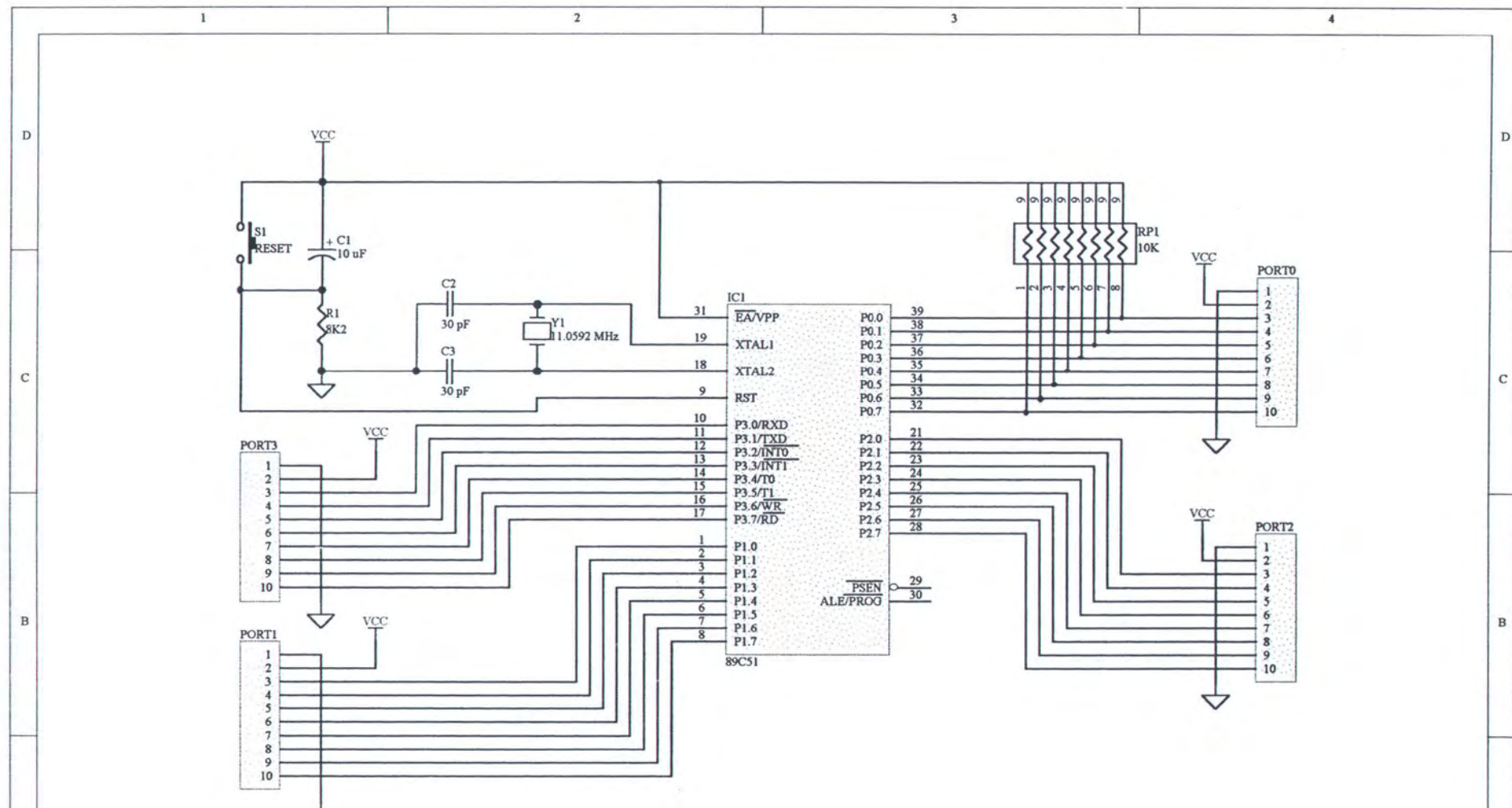
```

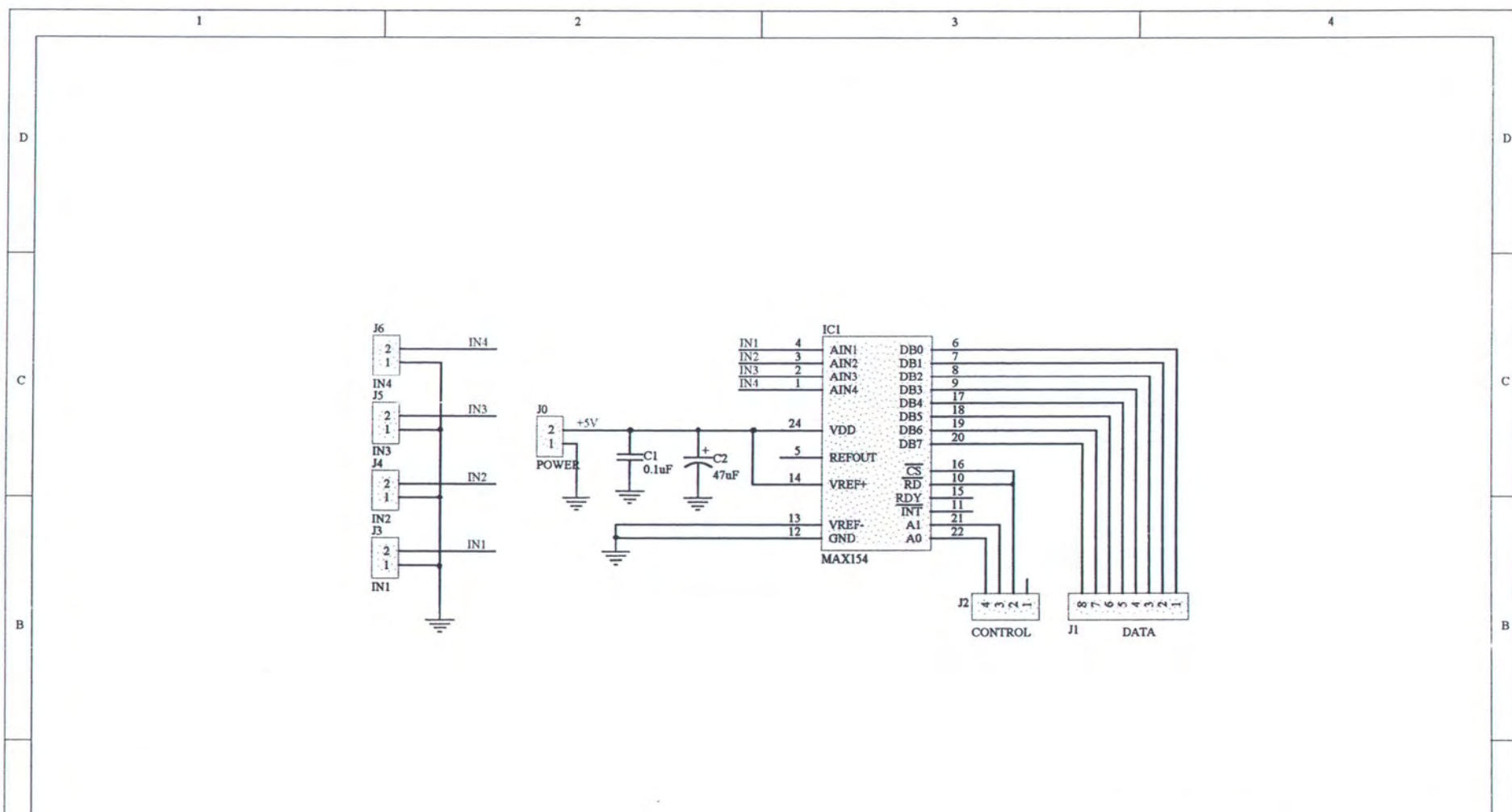
; Inference engine has completed one pass of all rules.

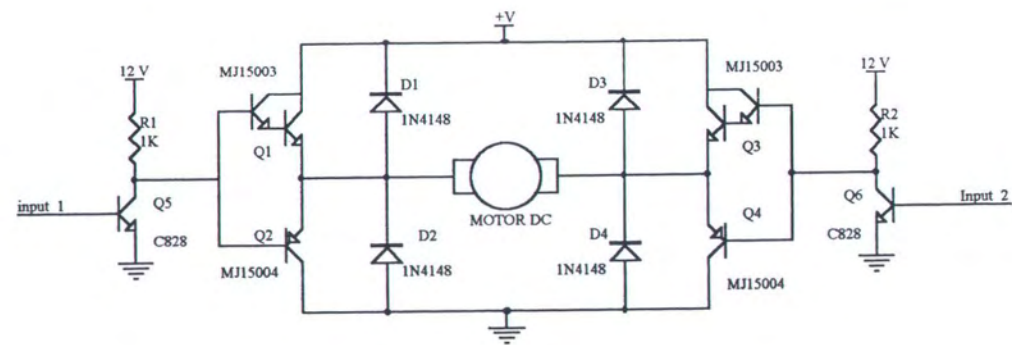
```

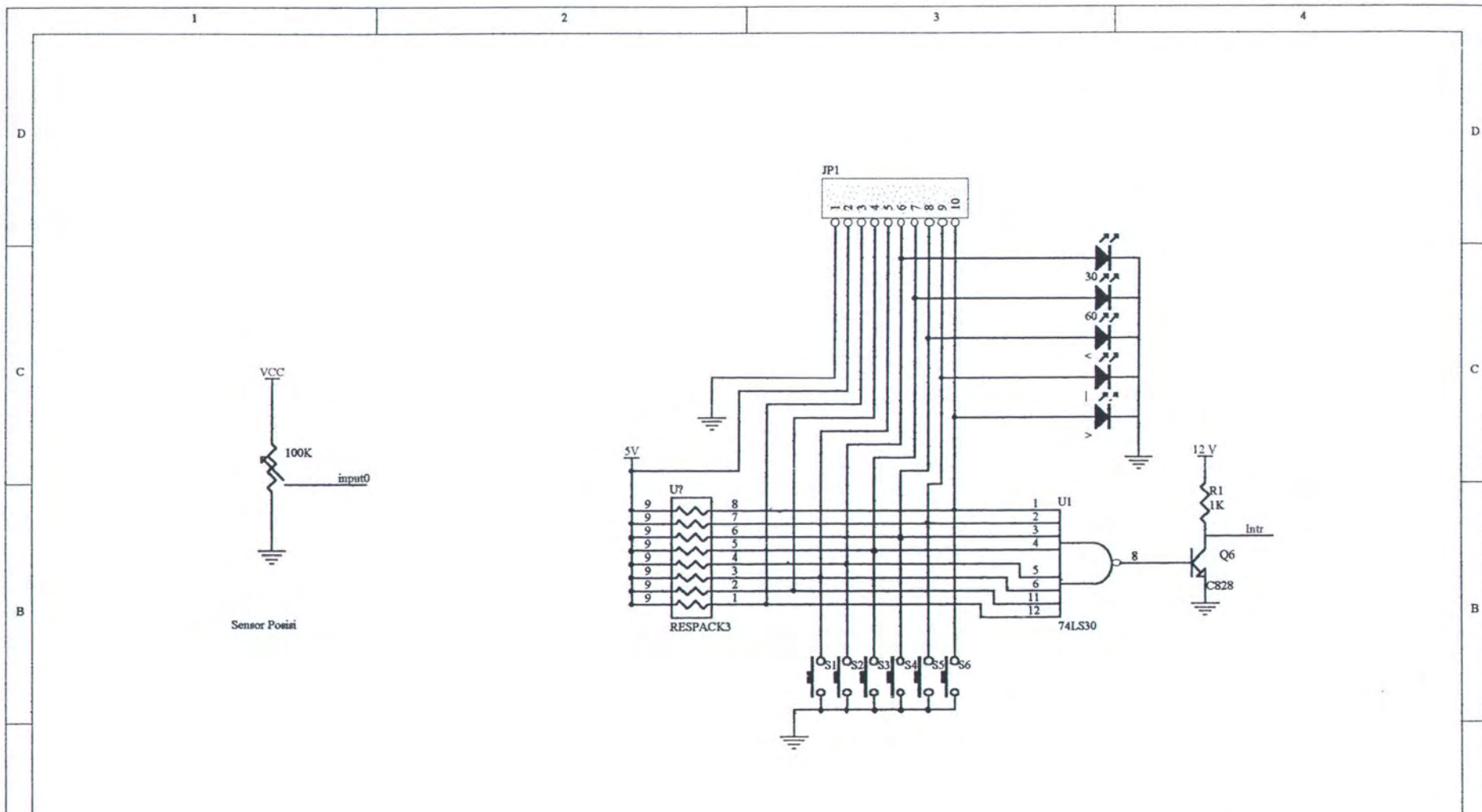
AKHIR:
      JMP  OUTPUT              ; ULANGI PROSES TOTAL

```







DAFTAR RIWAYAT HIDUP



MOH. SAMSUN AFIFUDDIN, dilahirkan di Kediri pada tanggal 19 Agustus 1975 merupakan putra pertama dari enam bersaudara dari Bapak Asmu'i dan Ibu Siti Maimonah, yang tinggal di Kediri Jawa Timur. Terdaftar sebagai mahasiswa Jurusan Teknik Elektro, Fakultas

Teknologi Industri, Institut Teknologi Sepuluh Nopember melalui jalur UMPTN tahun 1994, dengan NRP 2294 100 084.

Pendidikan yang telah ditempuh selama ini adalah :

- MII Banjarmati Kediri tahun 1982 – 1988
- SMPN 1 Kediri tahun 1988-1991
- SMAN 2 Kediri tahun 1991-1994
- Institut Teknologi Sepuluh Nopember , Fakultas Teknologi Industri, Jurusan Teknik Elektro, Bidang Studi Elektronika sejak tahun 1994 yang diharapkan dapat menyelesaikan studinya Maret 2000

Selama mahasiswa penyusun aktif organisasi kemahasiswaan di JMMI - ITS. Di Bidang studi Elektronika aktif sebagai asisten praktikum Rangkaian Listrik, Praktikum Elektronika, Praktikum Elektronika Lanjut II, dan sebagai *supervisor* LAN.